

CENTRO FEDERAL DE EDUCAÇÃO TECNOLÓGICA DE MINAS GERAIS
Engenharia de Computação

Anna Claudia Almeida Anício

RECONHECIMENTO DE SÍMBOLOS SIGNWRITING

Timóteo

2014

Anna Claudia Almeida Anício

RECONHECIMENTO DE SÍMBOLOS SIGNWRITING

Monografia apresentada ao Curso de Engenharia de Computação do Centro Federal de Educação Tecnológica de Minas Gerais, campus Timóteo, como requisito parcial para obtenção do título de Engenheira de Computação.

Orientador: Aléssio Miranda Júnior
Coorientador: Douglas Nunes de Oliveira

Timóteo

2014

Anna Claudia Almeida Anício

RECONHECIMENTO DE SÍMBOLOS SIGNWRITING

Monografia apresentada ao Curso de Engenharia de Computação do Centro Federal de Educação Tecnológica de Minas Gerais, campus Timóteo, como requisito parcial para obtenção do título de Engenheira de Computação.

Aléssio Miranda Júnior

Douglas Nunes de Oliveira

Élder de Oliveira Rodrigues

Timóteo, 20 de outubro de 2014

À Deus, por ser o meu amparo.

RESUMO

Este trabalho realiza um estudo sobre técnicas de Reconhecimento de Padrões a fim de aplicá-las no reconhecimento de símbolos SignWriting. O SignWriting é um sistema de escrita desenvolvido por Valerie Sutton, em 1974, nos Estados Unidos da América e consiste na utilização de símbolos visuais, como forma de representar as configurações de mão, os movimentos, as expressões faciais e os movimentos do corpo das línguas de sinais. Reconhecer Padrões consiste em analisar um determinado conjunto de dados e organizá-los de acordo com padrões. No processo de reconhecimento estabelecido, o conjunto de dados foi composto de imagens SignWriting coletadas através de um aplicativo de desenho desenvolvido para Android, onde o usuário desenha o símbolo correspondente ao sinal SignWriting desejado. Foram utilizadas a biblioteca OpenCV para auxiliar os trabalhos de processamento das imagens coletadas e a extração de características das mesmas, e a ferramenta de software livre Weka para auxiliar no processo de reconhecimento. Ao final, foram utilizados três algoritmos de mineração de dados, sendo uma árvore de decisão, um classificador bayesiano e uma rede neural de múltiplas camadas, onde a rede neural e a árvore de decisão obtiveram melhores resultados em bases de dados distintas. Espera-se, com esse trabalho, que o processo de reconhecimento dos símbolos SignWriting contribua no estímulo pesquisas, tais como um reconhecedor automático de imagens.

Palavras-chave: Linguagem de Sinais. SignWriting. Reconhecimento de Padrões.

ABSTRACT

This paper conducts a study on pattern recognition techniques in order to apply them in SignWriting symbols' recognition. The SignWriting is a writing system developed by Valerie Sutton in 1974 in the United States of America and is the use of visual symbols as a way of representing the configurations of hand movements, facial expressions and body movements of languages signals. Recognizing patterns is to analyze a given set of data and arrange them according to standards. Established in the recognition process, the data set was composed of SignWriting images collected through a drawing application developed for Android, where the user draws the symbol corresponding to the desired signal SignWriting. The OpenCV library to assist the work of processing the collected images and the extraction of characteristics of them, and the Weka open source tool to aid in the recognition process were used. In the end, three data mining algorithms were used, a decision tree, Bayesian classifier and a multilayer neural network, where the neural network and the decision tree obtained better results in separate databases. Hopefully, with this work, that the process of recognition of symbols SignWriting contribute in stimulating research, such as an automatic recognizer images.

Keywords: Sign Language. SignWriting. Pattern Recognition.

LISTA DE FIGURAS

Figura 1: Países que Utilizam Atualmente o Sistema SignWriting	19
Figura 2: Perspectiva do Emissor.....	23
Figura 3: Configurações Básicas da Mão	23
Figura 4: Símbolos de Contato	24
Figura 5: Plano Paralelo à Parede.....	25
Figura 6: Plano Paralelo ao Chão	25
Figura 7: Expressões Faciais	26
Figura 8: GUIWeka	33
Figura 9: Exemplo arquivo ARFF.....	34
Figura 10: Arquitetura de uma MLP com 2 camadas ocultas.....	36
Figura 11: Metodologia Adotada.....	39
Figura 12: Exemplos de Símbolos da Base de Dados	41
Figura 13: Coletas do símbolo a_01 na Base 01.....	41
Figura 14: Coletas do símbolo a_01 na Base 02.....	41
Figura 15: Extração das Características	43

LISTA DE EQUAÇÕES

Equação 1:Teorema de Bayes.....	35
---------------------------------	----

LISTA DE CÓDIGOS

Código 1: Função histogram – Declaração das Variáveis	44
Código 2: Função histogram – Eixo X do histograma	44
Código 3: Função histogram – Cálculo do histograma	45
Código 4: Função histogram – Desenho do histograma	45
Código 5: Arquivo .arff – Cabeçalho	47
Código 6: Arquivo .arff – Dados.....	48
Código 7: Saída J48 – Sumário	49
Código 8: Saída NaiveBayes – Sumário	50
Código 9: Saída MLP – Sumário	50

LISTA DE QUADROS

Quadro 1: Acertos/Erros.....	51
------------------------------	----

LISTA DE GRÁFICOS

Gráfico 1: Acertos/Erros	51
--------------------------------	----

LISTA DE SIGLAS

API – Application Programming Interface – Interface de Programação de Aplicativos

ARFF - Atributo-Relação Arquivo

ASL - American Sign Language – Linguagem Americana de Sinais

BSD - Berkeley Software Distribution – Distribuição de Software de Berkeley

DAC – Deaf Action Committee – Diretoria de Ação Cultural

GNU – GNU isNot Unix – GNU Não é Unix

GUI – Graphical User Interface – Interface Gráfica do Usuário

IHC - Interação Humano-Computador

JPEG - Joint Photographic Experts Group - Grupo Conjunto de Especialistas em Fotografia

LIBRAS – Linguagem Brasileira de Sinais

MIT - Massachusetts Institute of Technology – Instituto de Tecnologia de Massachusetts

MLP – MultiLayer Perceptron – Perceptrone de Multicamadas

OpenCV - Open Source Computer Vision – Fonte Aberto Visão Computacional

PUC – Pontifícia Universidade Católica

RNA – Redes Neurais Artificiais

RP – Reconhecimento de Padrões

RS – Rio Grande do Sul

SVM - Support Vector Machine – Máquina de Vetores de Suporte

WEKA – Waikato Environment for Knowledge Analysis – Waikato Ambiente para Análise de Conhecimento

SUMÁRIO

1 INTRODUÇÃO	14
1.1 Motivação	15
1.2 Objetivo	15
1.2.1 Objetivos Específicos	16
2 ESTADO DA ARTE	17
2.1 SignWriting	17
2.2 Reconhecimento de Padrões	20
3 FUNDAMENTOS TEÓRICOS	22
3.1 SignWriting	22
3.1.1 Aplicação Prática	22
3.2 Reconhecimento de Padrões	27
3.2.1 Tarefas de Aprendizado	29
3.3 Biblioteca OpenCV	30
3.4 Weka	32
3.4.1 J48	34
3.4.2 NaiveBayes	34
3.4.3 MultiLayerPerceptron (MLP)	36
4 METODOLOGIA	38
5 RESULTADOS	40
5.1 Base de Dados	40
5.2 Processamento das Imagens	42
5.2.1 Histogramas	43
5.2.2 Arquivo ARFF	46
5.3 Reconhecimento dos Símbolos	48
5.3.1 J48	49
5.3.2 NaiveBayes	49

5.3.3 MultiLayerPerceptron (MLP).....	50
5.3.4 Resultados	51
6 CONCLUSÃO	53
7 TRABALHOS FUTUROS.....	55
REFERÊNCIAS.....	56
APÊNDICEA: Listagem Completa das 80 classes	60
APÊNDICE B: Saídas Weka para os dados dos Histogramas Horizontais – Base 02	64
1 J48	64
2 NaiveBayes	66
3 MultiLayerPerceptron (MLP).....	69
APÊNDICE C: Descrição Detalhada das Saídas Weka para os dados dos Histogramas Horizontais – Base 02.....	73
1 J48.....	73
2NaiveBayes	75
3 MultiLayerPerceptron (MLP)	79

1 INTRODUÇÃO

A LIBRAS (Língua Brasileira de Sinais) é a língua oficial de sinais do Brasil, reconhecida pelo então ex-presidente Fernando Henrique Cardoso, publicada pela Lei nº 10.436, de 24 de abril de 2002 e a Lei nº 10.098, de 19 de dezembro de 2002 (AZEREDO, 2006). Em dezembro de 2005, foi regulamentada pelo ex-presidente Luiz Inácio Lula da Silva, por meio do decreto 5626/2005 (Decreto 5.689, 22 de dezembro de 2005), sendo reconhecida como meio legal de comunicação e expressão entre as comunidades de pessoas surdas no Brasil. Com isso, a LIBRAS não pode ser mais chamada de uma simples linguagem, ela é uma Língua Oficial usada pelos surdos.

Mesmo sendo considerada uma Língua Oficial, a Libras não possui representação textual oficial. Isso dificulta a comunicação textual das pessoas surdas, uma vez que, na grande maioria dos casos em que queiram estabelecer essa comunicação, elas possuem como alternativa a língua utilizada pelas pessoas falantes, ou seja, para o surdo, uma segunda língua.

O sistema SignWriting, desenvolvido por Valérie Sutton do Deaf Action Commite, da Califórnia, USA (SUTTON, 2002), é uma notação gráfica para a Língua de Sinais. O SignWriting pode registrar qualquer língua de sinais do mundo sem passar pela tradução da língua falada. Cada língua de sinais vai adaptá-lo à sua própria ortografia (STUMPF, 2005). Trata-se, portanto, de uma alternativa, caso a pessoa surda deseje aprender uma representação escrita para língua de sinais.

Reconhecimento de Padrões (RP) é entendido como a caracterização de dados de entrada em classes identificáveis através de extração de características ou atributos fundamentais. Característica (ou Atributo) é o dado extraído de uma amostra por meio de medida e/ou processamento (LOPES, 2012).

Reconhecimento de Padrões trata-se, portanto, de uma área de pesquisa que tem por objetivo a classificação de objetos (padrões) em um número de categorias ou classes (THEODORIDIS; KOUTROUMBAS, 1999).

Este trabalho consiste em um estudo sobre técnicas computacionais de Reconhecimento de Padrões, a fim de serem aplicadas no reconhecimento dos símbolos SignWriting escritos à mão. Para isso, serão utilizados como auxílio a ferramenta de software livre Weka (WEKA) e a biblioteca OpenCV (OPENCV) para o processamento e extração das características das imagens SignWriting coletadas através de um aplicativo de desenho desenvolvido para Android (MIRANDA, 2014).

1.1 Motivação

A Língua de Sinais é uma língua gestual e ainda não possui representação escrita/textual oficial. Sendo assim, caso uma pessoa surda necessite recorrer à escrita, na grande maioria dos casos, ela recorre à representação escrita da língua sonora utilizada pelas pessoas falantes ou aos seus recursos.

Por exemplo, no Brasil, um surdo, na grande maioria dos casos, necessita aprender o português escrito, que é a sua segunda língua, para escrever algo, pois não existe representação textual para a LIBRAS que é a sua linguagem natural. Nesta segunda língua, o surdo encontra muita dificuldade de expressão, o que faz com que sua produção escrita seja quase inexistente, limitando-se a comunicações básicas, ainda assim efetuadas com dificuldade (STUMPF, 2000).

Portanto, o SignWriting é uma proposta para que as pessoas surdas escrevam em sua língua materna, ou com uma conotação o mais próximo possível dela, sem terem de usar uma segunda língua, como a utilizada pelas pessoas falantes, por exemplo. A principal motivação deste trabalho é contribuir com pesquisas na área de reconhecimento de padrões, como as de reconhecedores automáticos de imagens e, através delas, auxiliar no uso da linguagem de sinais também na forma escrita pelos usuários surdos.

1.2 Objetivo

O objetivo desse trabalho é estabelecer um processo para o reconhecimento das imagens SignWriting utilizando técnicas distintas de Reconhecimento de Padrões, a fim de auxiliar na criação de ferramentas úteis e inovadoras para que a comunidade surda faça uso.

Para isso, será utilizado um aplicativo de desenho desenvolvido para Android cuja função será coletar as imagens SignWriting que irão compor a base de dados. Uma vez coletadas, serão extraídas suas características e realizado o processamento das imagens, com o auxílio da biblioteca OpenCV. As características extraídas serão então utilizadas para o reconhecimento das imagens com o auxílio da ferramenta Weka.

É importante ressaltar que o SignWriting é um modelo de representação textual da Linguagem de Sinais, porém não adotado oficialmente em muitos países, inclusive no Brasil, embora existem boas perspectivas à sua aderência, conforme será visto em tópicos posteriores. O trabalho visa o reconhecimento dos símbolos do SignWriting, através do uso de técnicas de Reconhecimento de Padrão.

1.2.1 Objetivos Específicos

Segue os objetivos específicos:

- Uso de um aplicativo de desenho desenvolvido para Android, onde o usuário pôde representar os símbolos do SignWriting;
- Coleta de uma base de dados, com os símbolos “desenhados”, para utilização nas diferentes técnicas de Reconhecimento de Padrões;
- Processamento das imagens coletadas e extração de características das mesmas, tais como histogramas verticais e horizontais, com o auxílio da biblioteca OpenCV;
- Estudo e definição das melhores técnicas a serem utilizadas para o reconhecimento dos símbolos do SignWriting;
- Estudo da ferramenta de auxílio Weka, seu formato de entrada, os algoritmos que a compõe, a fim de verificar o que melhor se encaixa a natureza do problema;
- Formalização de um processo para o reconhecimento dos símbolos SingWriting, de modo a facilitar o uso dos mesmos como uma proposta para escrever em linguagem de sinais.

2 ESTADO DA ARTE

Este tópico descreve uma pequena introdução histórica sobre o SignWriting e sobre a técnica de Reconhecimento de Padrões, bem como o estado atual destes, suas evoluções e o que tem sido desenvolvido nessas áreas.

2.1 SignWriting

O sistema de representação de línguas de sinais denominado por SignWriting foi criado por Valerie Sutton no ano de 1974.

Os próximos oito parágrafos são um retrato pertinente ao trabalho baseado na descrição de Ronice Müller de Quadros (QUADROS, 2013) sobre a história do SignWriting.

Inicialmente, Valerie, que também era dançarina, criou um sistema para escrever danças, o DanceWriting, e despertou a curiosidade dos pesquisadores da língua de sinais dinamarquesa que estavam procurando uma forma de escrever os sinais, e, na Dinamarca, foi realizado o primeiro registro da criação de um sistema de escrita de línguas de sinais.

Conforme os registros feitos por Valerie Sutton na homepage do SignWriting¹, em 1974, a Universidade de Copenhagen (na Dinamarca) solicitou à Sutton que registrasse os sinais gravados em vídeo cassete - até então, a única forma de registro das línguas de sinais, registro esse que continua sendo uma forma valiosa para a comunidade surda até os dias atuais.

As primeiras formas foram inspiradas no sistema escrito de danças, porém realizando-se as devidas alterações, fato que caracterizou a década de 70 como um período de transição do DanceWriting para o SignWriting.

Em 1977, o Dr. Judy Shepard-Kegl (PhD em Linguística pelo MIT) organizou o primeiro workshop sobre SignWriting para a Sociedade de Linguística de New

¹signwriting.org

England nos Estados Unidos, no MIT. Nesse mesmo ano, um primeiro grupo de surdos adultos, um grupo do Teatro Nacional de Surdos em Connecticut, nos Estados Unidos, aprenderam o sistema, e também foi publicada a primeira história escrita em SignWriting. Em 1978, foram editadas as primeiras lições em vídeo, e em 1979, Valerie Sutton trabalhou com uma equipe do Instituto Técnico Nacional para Surdos em Rochester, em Nova Iorque, prestando assistência na elaboração de uma série de livretos chamados The Technical Signs Manual que usaram ilustrações em SignWriting.

Na década de 80, Valerie Sutton apresentou um trabalho no Simpósio Nacional em Pesquisa e Ensino da Língua de Sinais intitulado como uma forma de analisar a Língua de Sinais Americana e qualquer outra língua de sinais sem passar pela tradução da língua falada, e também foi escrito o primeiro jornal à mão.

Depois disso, o SignWriting começou a se desenvolver mais e mais, e de um sistema escrito à mão livre passou a ser um sistema possível de ser escrito no computador.

A evolução do SignWriting apresenta, de certa maneira, características da evolução da escrita, sendo que a atual discussão é quanto a sua padronização, pois se percebeu que a produção escrita dos sinais difere de pessoa para pessoa, cada um escreve como acha que deve ser escrito. Valerie pode comprovar que isso estava acontecendo no primeiro curso de SignWriting ministrado na PUC do RS em Porto Alegre, no ano de 1997, onde cada aluno produzia o mesmo sinal de forma diferente, sendo alguns mais simples ou mais detalhistas do que outros.

A ASL (American Sign Language – Linguagem Americana de Sinais) tem uma longa caminhada em SignWriting e já dispõe de um dicionário bastante rico produzido pelo DAC (Deaf Action Committee - Diretoria de Ação Cultural). Muitas pessoas estão usando SignWriting nos EUA e a tendência natural é de haver uma padronização. Claro que cada língua de sinais vai naturalmente desenvolver uma forma comum de escrever os sinais, conforme as características de cada povo e país.

Ao fim, logo pelo relato, temos que o SignWriting está se desenvolvendo muito rápido e tem se espalhado em vários países do mundo, como pode ser visto na Figura 1. O DAC está oferecendo suporte para o desenvolvimento de Projetos de Alfabetização em SignWriting. Tais projetos envolvem escolas americanas, canadenses e brasileiras.

Figura 1: Países que Utilizam Atualmente o Sistema SignWriting



Fonte:(SIGNWRITING.ORG)

Quanto ao SignWriting no Brasil, foi descoberto, no ano de 1996, na PUC do RS em Porto Alegre, através do Dr. Antônio Carlos da Rocha Costa que formou um grupo de trabalho envolvendo as professoras Marianne Stumpf e Marcia Borba.

Marianne Stumpf é surda e professora na área de computação na Escola Especial Concórdia em Porto Alegre, e trabalha com o SignWriting em algumas turmas, enquanto Marcia Borba se envolve com a parte de pesquisa relacionada à computação.

No Brasil, existem boas perspectivas de dar continuidade à aderência ao SignWriting, uma vez que algumas escolas começam a se interessar e buscar conhecer tal sistema. A Escola Especial Concórdia de Porto Alegre e a Escola Hellen Keller de Caxias do Sul/RS já começaram a aprender como escrever a

LIBRAS esse é um passo que tende a ser trilhado por muitas outras escolas. O Instituto Nacional de Educação de Surdos no Rio de Janeiro e algumas escolas em São Paulo também já começaram a se interessar pelo SignWriting, e a Federação Nacional de Educação e Integração de Surdos já demonstrou curiosidade.

Em 2007, os estudantes Cristiano Silva Fraga e Gilvania Clemente Viana, da Universidade Católica do Salvador, desenvolveram um software educativo, denominado ABC SignWriting, utilizando a técnica de Redes Neurais, cujo propósito é auxiliar a alfabetização dos surdos. O software foi desenvolvido para a conclusão do curso de Graduação em Informática.

O ABC SignWriting consiste em um software educativo para auxiliar a alfabetização dos surdos, incentivando a escrita na língua de sinais e facilitando o aprendizado do alfabeto da Língua Portuguesa, através do reconhecimento de símbolos do alfabeto SignWriting desenhados pelo usuário (FRAGA; VIANA, 2007).

2.2 Reconhecimento de Padrões

Padrões são unidades de informação que se repetem, ou então, são sequências de informações que dispõem de uma estrutura que se repetem (NAVEGA, 2002).

Reconhecer padrões é uma das atividades mais recorrentes e mais importantes do ser humano. Lendo um texto escrito, por exemplo, os olhos capturam os sinais representados pelos grafemas (letras) da língua, transformam-nos em sinais nervosos, que são reconhecidos (interpretados) pelo cérebro humano. Este último reconhece aqueles signos, palavras, frases e outros elementos, em um crescendo de informações, até chegar ao sentido do texto, ou seja, até entender o texto (RAUBER, 1997).

Os homens utilizam constantemente suas habilidades em reconhecer padrões, essencialmente por meio dos sentidos. Assim pode reconhecer rostos, músicas, vinhos, materiais, etc.

Segundo Rauber (RAUBER, 1997), “reconhecimento de padrões é a transformação da informação do nível subsimbólico (sinais), ao nível simbólico (o do conhecimento)”.

Mais genericamente, pode-se dizer que o Reconhecimento de Padrões (RP) é um ramo da Ciência que trata da classificação e da descrição de objetos (MARQUES de SÁ, 2006).

Um sistema completo para Reconhecimento de Padrões consiste basicamente em (GRACIANO, 2007):

- Aquisição e representação dos dados de observação a serem classificados e/ou descritos;
- Um mecanismo de extração e seleção de características para obter de informações a respeito dos dados;
- Um esquema de classificação, descrição ou aprendizagem dos dados a partir das características extraídas.

Existem trabalhos que envolvem Reconhecimento de Padrões e SignWriting. A maioria deles utiliza a técnica de Redes Neurais, como o estudo feito por Fabiana Rocha em 2003 (ROCHA, 2003). Em seu trabalho, Fabiana utiliza uma Rede Neural BackPropagation para reconhecer os símbolos manuscritos do sistema SignWriting.

Encontra-se também outros estudos no campo de Reconhecimentos de Padrões que utilizam como apoio as ferramentas Weka e OpenCV, como no trabalho desenvolvido por Geovanny de Oliveira Filho em 2013 (FILHO, 2013), que utiliza o OpenCV como biblioteca para manipulação das imagens, e os algoritmos J48 e MultiLayer Perceptron da ferramenta Weka para o processo de classificação do número de pessoas em motos no trânsito; e no trabalho desenvolvido por Amanda Guimarães em 2012 (GUIMARÃES, 2012) que utiliza o OpenCV juntamente com o Weka para auxílio no diagnóstico de câncer de colo uterino.

3 FUNDAMENTOS TEÓRICOS

Neste tópico será abordado os conceitos do SignWriting, de Reconhecimento de Padrões, da biblioteca OpenCV e da ferramenta Weka, seu formato de entrada e os algoritmos que a compõe e que foram utilizados no processo de reconhecimento. Esses são os conceitos intimamente relacionados ao trabalho proposto.

3.1 SignWriting

O SignWriting é um sistema de escrita das línguas gestuais que expressa os movimentos, as forma das mãos, as marcas não-manuais e os pontos de articulação (SILVA, 2013).

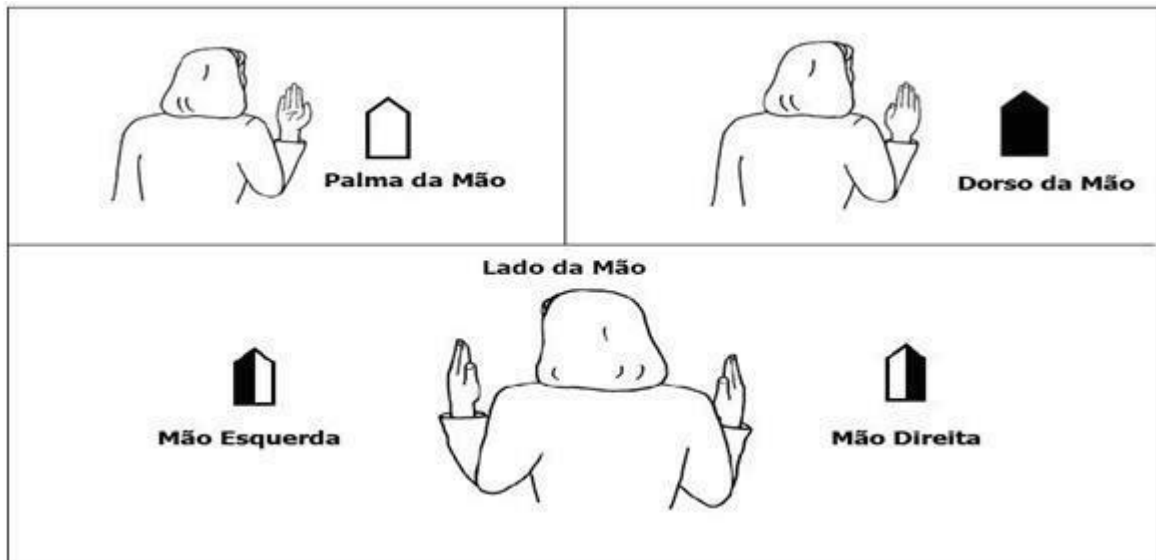
3.1.1 Aplicação Prática

Um discurso em língua gestual é realizado sob o aspecto de duas perspectivas: do receptor e do emissor. Assim, a primeira diz respeito ao que é observado por alguém que não está produzindo, mas apenas a visualizar as mãos de alguém que se encontra a gestualizar; por sua vez, a segunda representa aquilo que o próprio gestuante produz e vê. Neste sistema a escrita dos gestos pode ser feita segundo as duas perspectivas, no entanto as publicações em SignWriting são feitas segundo a perspectiva do emissor, sendo a do receptor utilizada ocasionalmente na transcrição de gesto a partir de um vídeo ou quando há necessidade de se fazer um registro rápido que acompanhe o discurso (SUTTON, 2002).

Conforme a perspectiva do emissor quando este vê a palma da mão enquanto produz um gesto o símbolo será branco. Quando o emissor visualiza a parte de trás da própria mão, o dorso, o símbolo será preto. Por sua vez, quando o emissor gestualiza e visualiza o lado da mão, o símbolo será dividido em duas metades, uma

branca e outra preta, isto é, a cor determina a orientação da palma da mão. A Figura 2 ilustra a coloração dos símbolos conforme a perspectiva do emissor.

Figura 2: Perspectiva do Emissor



Fonte: Silva, R. C., 2012

No que diz respeito às formas da mão, o SignWriting assenta em três configurações básicas: a mão fechada, a mão circular e a mão aberta (Figura 3). Todos os outros símbolos que representam as configurações correspondem a variações destes três (STUMPF, 2005).

Figura 3: Configurações Básicas da Mão

		Mão fechada
		Mão circular
		Mão aberta com dedos unidos

Fonte: Silva, R. C., 2012

No SignWriting existem seis formas para representar o contato dos símbolos (Figura 4). Esse contato poder ser de uma mão com a outra, da mão com corpo ou da mão com a cabeça.

Figura 4: Símbolos de Contato

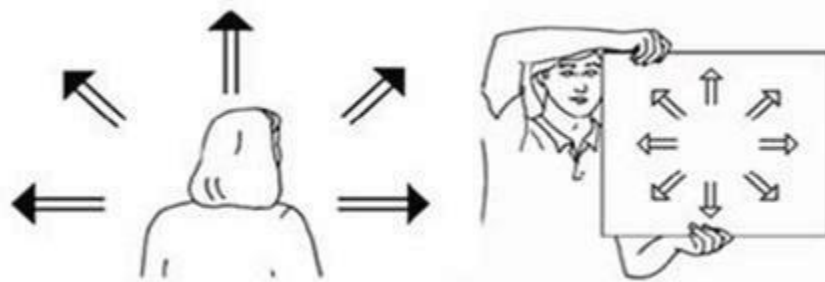
*	Tocar
+	Agarrar
*	Tocar entre
#	Bater
⊙	Escovar
@	Esfregar

Fonte:Silva, R. C., 2012

O *tocar* é escrito com um asterisco e acontece quando uma mão tem um contato gentil com alguma parte do corpo; o *agarrar* é escrito com uma cruz e é utilizado quando a mão agarra em alguma parte do corpo ou em uma peça de roupa, por exemplo; o *tocar entre* é escrito com um asterisco entre duas linhas verticais e é utilizado quando existe um toque entre duas partes do corpo, habitualmente entre os dedos; o *bater* é escrito com um cardinal e é utilizado quando a mão toca em uma zona com força; o *escovar* é escrito através de um círculo com um ponto preto no meio e é utilizado em contato com movimento que desliza para fora da superfície; por último, o *esfregar* é escrito através de um símbolo espiral e é utilizado num contato com movimento, mas que se mantém na superfície (SUTTON, 2002).

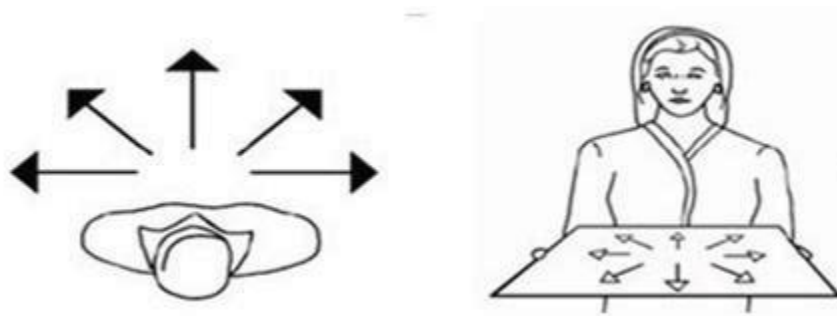
No que diz respeito aos movimentos, eles podem ser classificados em movimentos das mãos ou dos dedos. Para Valerie Sutton, ambos se processam num espaço de sinalização que corresponde à área onde se executam os gestos, isto é, a distância que o braço consegue alcançar em frente, cima e baixo. Este espaço divide-se em dois planos que apresentam representações distintas: o plano paralelo à parede, onde os movimentos são para cima e para baixo sendo a representação feita com setas de duplo traço (Figura 5), e o plano paralelo ao chão, em que os movimentos são efetuados para frente e para trás e a representação é feita com setas simples, só com um traço (Figura 6).

Figura 5: Plano Paralelo à Parede



Fonte:Silva, R. C., 2012

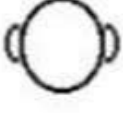
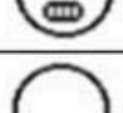
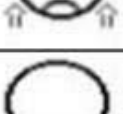
Figura 6: Plano Paralelo ao Chão



Fonte:Silva, R. C., 2012

As componentes não manuais são também expressas no sistema SignWriting. Estas podem ser a expressão facial ou a posição do tronco. A expressão facial é baseada no símbolo da face e a partir daí criam-se variações para diferentes representações: sobrancelhas, boca, dentes, bochechas (Figura 7). É importante ressaltar que esse é um dos tópicos de Trabalhos Futuros, portanto não é um ponto de alcançadas extensões desse trabalho, cujo foco são os símbolos básicos, ou símbolos primários.

Figura 7: Expressões Faciais

	Testa
	Sobrancelhas para cima
	Olhos abertos
	Orelhas
	Por o ar para fora
	Boca com sorriso fechado
	Língua lambe o lábio de cima
	Dentes
	Queixo para cima
	Outras partes: pescoço

Um dos motivos de escolha de se utilizar os símbolos SignWriting é que esses são símbolos internacionais, o que permite a utilização destes para representargestos de qualquer língua gestual do mundo, sendo que cada língua apenas os adapta à sua própria estrutura (STUMPF, 2005).

A ideia é semelhante aos caracteres indu-arábicos (ou simplesmente arábicos), que correspondem ao sistema de numeração decimal e representam, textualmente, os números falados oralmente. Da mesma forma, o SignWriting é uma representação textual dos gestos produzidos pelos surdos.

3.2 Reconhecimento de Padrões

O Reconhecimento de Padrões é um dos ramos da Inteligência Artificial e trata-se, basicamente, de um sistema capaz de organizar informações de acordo com determinados dados (VALIN, 2009). É entendido como a caracterização de dadosde entrada em classes identificáveis através deextração de características ou atributosfundamentais.

A Inteligência Artificial utiliza-se do Reconhecimento de Padrões para analisar determinado conjunto de dados, também chamado conjunto de treinamento, e organizá-los de acordo com padrões (VALIN, 2009).

Entende-se por padrão as propriedades que possibilitam o agrupamento de objetos semelhantes dentro de uma determinada classe ou categoria, mediante a interpretação de dados de entrada, que permitam a extração das características relevantes desses objetos (TOU; GONZÁLES, 1981). Entende-se por classe de um padrão um conjunto de atributos comuns aos objetos de estudo. Entende-se por características a descrição numérica elementar de um objeto. Assim, reconhecimento de padrões pode ser definido como sendo um procedimento em que se busca a identificação de certas estruturas nos dados de entrada em comparação a estruturas conhecidas e sua posterior classificação dentro de categorias, de modo que o grau de associação seja maior entre estruturas de mesma categoria e menor entre as categorias de estruturas diferentes (CASTRO; PRADO, 1999-2002).

O reconhecimento de padrões visa classificar dados baseados em conhecimento a priori (preliminar ou dedutivo) ou informações estatísticas extraídas de padrões (VALIN, 2009).

Estes padrões a serem classificados normalmente são grupos de medidas ou observações que definem pontos em um espaço multidimensional apropriado. Antes de partir para a análise efetiva, uma etapa de treinamento é realizada: nela o algoritmo de reconhecimento é testado para que seja possível saber se ele encontra os resultados esperados (VALIN, 2009).

Um sistema para Reconhecimento de Padrões engloba três grandes etapas:

- Representação dos dados de entrada e sua mensuração;
- Extração das características;
- Identificação e classificação do objeto em estudo.

Os parágrafos abaixo descrevem essas três etapas segundo Armando de Castro e Pedro Prado (CASTRO; PRADO, 1999-2002).

A primeira etapa refere-se à representação dos dados de entrada que podem ser mensurados a partir do objeto a ser estudado. Essa mensuração deverá descrever padrões característicos do objeto, possibilitando a sua posterior classificação numa determinada classe.

A segunda etapa consiste na extração de características intrínsecas e atributos do objeto. A escolha das características é de fundamental importância para um bom desempenho do classificador. Esta escolha é feita objetivando os fenômenos que se pretende classificar. Exige-se, portanto, um conhecimento específico sobre o problema em estudo.

A terceira etapa em Reconhecimento de Padrões envolve a determinação de procedimentos que possibilitem a identificação e classificação do objeto em uma classe de objetos.

É válido ressaltar também que existem dois tipos de Reconhecimento: o Supervisionado e o Não Supervisionado, porém ambos entram em ação após a

identificação do padrão. O Reconhecimento Supervisionado utiliza o conjunto de treinamento para classificar os dados obtidos de acordo com as categorias já existentes e nelas organizá-los. Por sua vez, o Reconhecimento Não Supervisionado utiliza o conjunto de treinamento para criar novas categorias, ao invés de simplesmente separar os dados de acordo com as categorias já existentes (VALIN, 2009).

Existem inúmeras áreas onde as técnicas de Reconhecimento de Padrões podem ser aplicadas. Dentre elas pode-se destacar:

- Processamento de Sinais de Voz;
- Análise de Cenas;
- Sensoriamento Remoto;
- Reconhecimento e Descrição de Objetos, tais como Escrita e Faces;
- Geologia;
- Biologia;
- Classificação de Documentos e Dados;
- Identificação de Assinaturas.

3.2.1 Tarefas de Aprendizado

Para extrair conhecimento relevante sobre um domínio específico existem diversas técnicas que podem ser utilizadas. Não existe um modelo universal para resolver todas as situações (FAYYAD; PIATETSKY-SHAPIRO; SMYTH, 1996). A escolha de uma técnica para resolver uma situação particular de certa forma é uma arte. Portanto é necessário informar qual o problema que se deseja resolver e quais as metas que devem ser alcançadas. As técnicas de aprendizado podem estar caracterizadas como:

- **Associação:** é a descoberta de relações de associação ou correlações entre um conjunto de itens. São frequentemente expressadas na forma de regras que mostram as condições atributo-valor que acontecem frequentemente juntas em um determinado conjunto de dados;
- **Classificação:** analisa um conjunto de dados de treinamento (conjunto de dados cuja classificação já é conhecida) e constrói um modelo para

cada classe baseando nas características dos dados. Uma árvore de decisão ou um conjunto de regras de classificação é gerado por tal processo de classificação, que pode ser usado para entender melhor cada classe no banco de dados e para classificação de futuros dados;

- **Agrupamento:** análise de agrupamentos consiste em identificar possíveis agrupamentos nos dados, onde um agrupamento é uma coleção de objetos que são “semelhantes”;
- **Sequência:** analisa um grande conjunto de dados de séries temporais para encontrar certas regularidades e características interessantes. Descobrimo assim padrões sequenciais, periodicidades, tendências e divergências. Por exemplo, pode-se prever a tendência dos valores acionários para uma companhia baseando-se sua história acionária, situação empresarial, desempenho dos competidores e mercado atual.

Vale ressaltar que nenhuma técnica pode ser considerada o melhor para todas as aplicações. Para a escolha da técnica mais adequada para o problema deve-se conhecer o domínio. Saber quais os dados são mais importantes, conhecer os padrões já existentes e assim por diante.

3.3 Biblioteca OpenCV

O OpenCV (Open Source Computer Vision - Fonte Aberto Visão Computacional) é uma biblioteca de programação, desenvolvido pela Intel, com funções de visão computacional de tempo real. Distribuída sob licença BSD (Berkeley Software Distribution – Distribuição de Software de Berkeley), é, portanto, gratuito tanto para uso acadêmico quanto comercial. Possui interfaces para C/C++, Python e Java, e suporte para Windows, Linux, Android e MacOS.

Andreia Wizbicki e Gerson Battisti citam o OpenCV como uma biblioteca utilizada para desenvolver aplicações capazes de realizar o reconhecimento de padrões em imagens, tendo sido projetada para a eficiência computacional e com um forte foco em aplicações em tempo real (WIZBICKI; BATTISTI, 2014).

A biblioteca OpenCV é largamente utilizada em problemas de Reconhecimento de Padrões, tais como reconhecimento facial (MACHADO, 2009),

reconhecimento de mão (BARBOSA; MELO; SOTUYO; MATRAKAS, 2013), reconhecimento de placa veicular (NASCIMENTO, 2012).

A biblioteca é dividida em cinco principais tipos de funções (MARENGONI; STRINGHNI, 2009):

- 1- Processamento de Imagens;
- 2- Análise Estrutural;
- 3- Análise de Movimento e Rastreamento de Objetos;
- 4- Reconhecimento de Padrões;
- 5- Calibração de Câmera e Reconstrução 3D.

A biblioteca OpenCV oferece suporte para:

- Captura em tempo real;
- Importação de arquivos de vídeo;
- Tratamento básico de imagem (brilho, contraste, limiar);
- Detecção de objetos (rosto, corpo).

As áreas de aplicação do OpenCV incluem:

- Funcionalidades 2D e 3D;
- Reconhecimento facial;
- Reconhecimento de gestos;
- Interação Humano-Computador (IHC);
- Robótica móvel;
- Compreensão de Movimento;
- Identificação de objetos;
- Segmentação e Reconhecimento;
- Visão Estéreo: percepção de profundidade de 2 câmeras;
- Rastreamento de Movimento;
- Realidade Aumentada.

Além disso, para dar suporte a algumas de suas áreas de aplicação, a biblioteca OpenCV também contém algumas implementações de aprendizagem de máquina, dentre as quais pode-se citar:

- Algoritmo do k-vizinho mais próximo;
- Classificador Bayesiano (NaiveBayes);
- Redes Neurais Artificiais;
- Random Forest;
- Support Vector Machine (SVM).

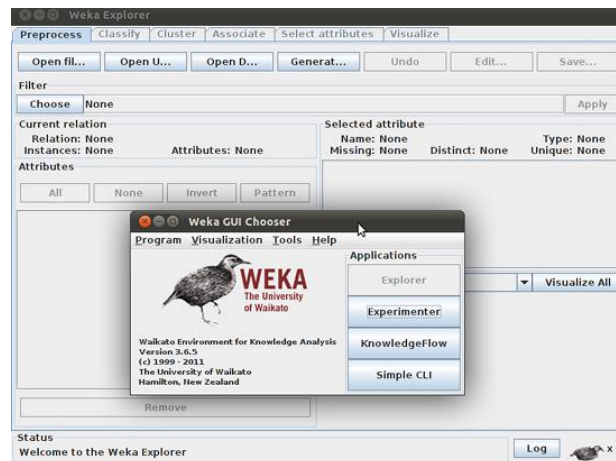
O OpenCV é utilizado hoje em muitos projetos open sources e algumas aplicações comerciais devido a sua boa performance e grande variedade de filtros e algoritmos, sendo a biblioteca open sources mais completa no campo da visão computacional (BRADSKY; PISAREVSKY; BOUGUET, 2006).

3.4 Weka

O Weka (Waikato Environment for KnowledgeAnalysis - Waikato Ambiente para Análise de Conhecimento) é um software de código aberto emitido sob a GNU(GNU is Not Unix – GNU Não é Unix) General Public License.Começou a ser escrito no ano 1993, usando a linguagem de programação Java, na Universidade de Waikato, na Nova Zelândia, e contém uma GUI (Graphical User Interface – Interface Gráfica do Usuário) para interagir com arquivos de dados e produzir resultados visuais. Ele também possui uma API (Application Programming Interface – Interface de Programação de Aplicativos) geral, sendo possível incorporar o Weka, como qualquer outra biblioteca, a aplicativospróprios (WEKA).

A Figura 8 mostra a tela inicial do Weka sobreposta à tela Explorer, ao fundo, que é a opção de maior uso em problemas de Reconhecimento.

Figura 8: GUIWeka



Fonte: (o autor)

O Weka trata-se de uma coleção de algoritmos de aprendizado de máquina para tarefas de mineração de dados. Os algoritmos podem ser aplicados diretamente a um conjunto de dados ou chamados a partir de seu próprio código Java.

O software contém ferramentas para pré-processamento de dados, classificação, regressão, clustering, regras de associação e visualização. Também é bem adequado para o desenvolvimento de novos sistemas de aprendizado de máquina.

O sistema WEKA usa um formato de arquivo comum para armazenar seus conjuntos de dados e, assim, apresenta ao usuário uma visão consistente dos dados. Este formato de arquivo, o formato de Atributo-Relação Arquivo (ARFF), define um conjunto de dados em termos de uma relação ou de mesa feita de atributos ou colunas de dados. As informações sobre os nomes da relação, e os tipos de dados dos atributos são armazenadas no cabeçalho ARFF, os dados propriamente ditos são representados como linhas de dados, no formato de uma matriz, no corpo do arquivo ARFF. A Figura 9 abaixo mostra um exemplo de arquivo ARFF.

Figura 9: Exemplo arquivo ARFF

```
@relation ESDN-weka.filters.unsupervised.instance.NonSparseToSparse

@attribute att1 numeric
@attribute att2 numeric
@attribute att3 numeric
@attribute att4 numeric

@data
{0 3,1 7,3 1}
{2 2,3 8}
```

Fonte: (o autor)

Abaixo serão descritos três dos algoritmos classificadores que compõe a ferramenta Weka e que foram utilizados no processo de Reconhecimento dos símbolos. São eles:

- J48: o algoritmo de Árvore de Decisão;
- NaiveBayes: Classificador Bayesiano Simples;
- MultiLayerPerceptron: Rede Neural de múltiplas camadas.

3.4.1 J48

O J48 é o algoritmo mais popular do Weka, e é uma implementação para o algoritmo C 4.5 para geração top-down de árvore de decisão. Nesta abordagem o atributo mais significativo, ou seja, o mais generalizado, quando comparado a outros atributos do conjunto é considerado raiz da árvore. Na sequência da construção, o próximo nó da árvore será o segundo atributo mais significativo, e, assim, sucessivamente, até gerar o nó folha, que representa o atributo alvo da instância (TAVARES; BONZZA; KONO, 2007).

A árvore de decisão gerada baseia-se no conjunto de dados de treinamento, e tem por finalidade classificar as instâncias no conjunto de teste.

O algoritmo J48 usa uma técnica de busca gulosa, determinando a cada passo qual o atributo, dentre os disponíveis, que é mais preditivo, e dividindo um nó da árvore com base neste atributo.

3.4.2 NaiveBayes

O classificador NaiveBayes é um método probabilístico com base no Teorema de Bayes (MITCHELL, 1997). Este classificador assume que os valores dos atributos

de um exemplo são independentes da sua classe, ou seja, a probabilidade de um evento A (que pode ser uma classe), dado um evento B (que pode ser o valor do conjunto de atributos de entrada), não depende apenas da relação entre A e B, mas também da probabilidade de observar A independentemente de observar B.

A figura 10 abaixo mostra a relação estabelecida pelo Teorema de Bayes, o objetivo é calcular $P(A|B)$, ou seja, calcular a probabilidade de observar A dado que B aconteceu, onde $P(A)$ é a probabilidade a priori de A, $P(B)$ é a probabilidade a priori de B e $P(B|A)$ é a probabilidade de observar B dado que A aconteceu.

Equação 1: Teorema de Bayes

$$P(A|B) = \frac{P(B|A) P(A)}{P(B)}$$

Fonte: (o autor)

A probabilidade de ocorrência do evento B pode ser estimada pela observação da frequência com que esse evento ocorre. Da mesma forma, é possível estimar a probabilidade de ocorrência de um evento B para cada classe A, $P(B|A)$. A dúvida assenta no cálculo da probabilidade de ocorrer A dado B, $P(A|B)$. O Teorema de Bayes resolve este problema utilizando a probabilidade a priori da classe, $P(A)$. Para calcular a probabilidade a priori da classe é necessário manter um contador para cada classe e assumir uma distribuição normal para os atributos.

Os classificadores Bayesianos, do tipo Naive Bayes, calculam a probabilidade de uma instância pertencer a cada uma das classes pré-determinadas, assumindo que há independência entre os atributos que descrevem a instância. A partir destas probabilidades, é possível gerar as saídas com uma regra de decisão que sempre dá como resposta a classe que obteve maior probabilidade após a aplicação do teorema de Bayes (RODRIGUES; AMARAL, 2012).

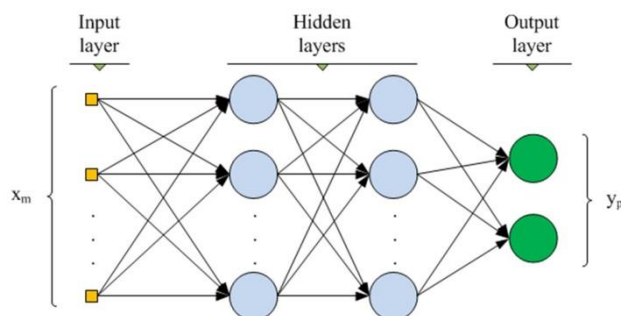
3.4.3 MultiLayerPerceptron (MLP)

As Redes Neurais MLP são redes de múltiplas camadas onde cada camada tem uma função específica. A camada de saída recebe os estímulos da camada intermediária e constrói o padrão que será a resposta. As camadas intermediárias, também chamadas camadas escondidas ou camadas ocultas, são responsáveis pelo aperfeiçoamento da rede, tomando por base o erro retornado na camada de saída. Seus pesos são uma codificação de características apresentadas nos padrões de entrada e permitem que a rede crie sua própria representação, mais rica e complexa do problema. Durante o treinamento com o algoritmo backpropagation, a rede opera em uma sequência de dois passos (CARVALHO, 2006):

- Primeiro, um padrão é apresentado à camada de entrada da rede. A atividade resultante flui através da rede, camada por camada, até que a resposta seja produzida pela camada de saída;
- Segundo, a saída obtida é comparada à saída desejada para esse padrão particular. Se esta não estiver correta, o erro é calculado. O erro é propagado a partir da camada de saída até a camada de entrada, e os pesos das conexões das unidades das camadas internas vão sendo modificados conforme o erro é retropropagado.

A figura 10 abaixo ilustra a arquitetura de uma Rede Neural de 2 (duas) Camadas.

Figura 10: Arquitetura de uma MLP com 2 camadas ocultas



Numa MLP, o principal parâmetro é o número h de nós da camada oculta (camada intermediária). Por default, o WEKA utiliza uma heurística que corresponde a dividir o número de atributos somado ao número de classes por 2 (RAMISCH, 2009).

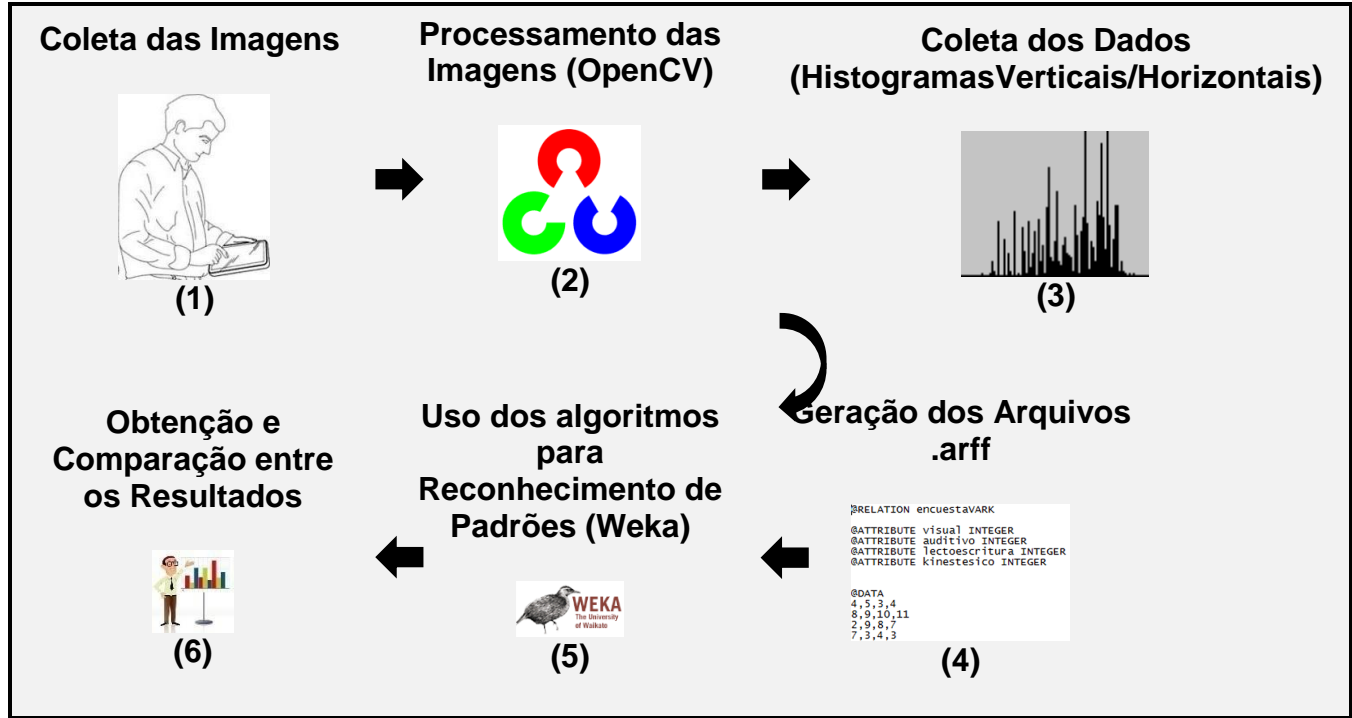
4 METODOLOGIA

O trabalho realizado é dividido, basicamente, em seis partes. Sendo elas:

- 1- Coleta das imagens através do uso de um aplicativo de desenho desenvolvido para Android, onde o usuário pode representar os símbolos do SignWriting;
 - Optou-se por um aplicativo para Android devido à precisão dos dedos ser maior que a do mouse, o que torna as imagens mais favoráveis ao uso;
 - Os “desenhos” coletados são destinados a compor a base de dados que será utilizada para o treinamento dos diversos algoritmos de Reconhecimento de Padrões.
- 2- Estudo e uso da biblioteca OpenCV, para o processamento das imagens coletadas, bem como a extração das características;
- 3- Coleta dos dados de cada imagem obtidos através da geração dos histogramas verticais e horizontais;
- 4- Geração dos arquivos de extensão ARFF que servirão como entrada da ferramenta Weka;
- 5- Estudo e uso da ferramenta de auxílio Weka, seu formato de entrada, os algoritmos que a compõe, a fim de verificar o que melhor se encaixa a natureza do problema;
 - Neste tópico também foram realizados estudos e testes de algumas técnicas de Reconhecimento de Padrões, de modo a definir quais as melhores a serem utilizadas, qual possuirá um melhor desempenho e atenderá melhor aos objetivos do trabalho, que é o reconhecimento satisfatório das imagens;
- 6- Obtenção de um processo a fim de obter o reconhecimento dos símbolos SignWriting e a comparação entre os resultados das diferentes técnicas aplicadas.

A figura 11 abaixo ilustra a metodologia adotada no trabalho.

Figura 11: Metodologia Adotada



Fonte: (o autor)

5 RESULTADOS

5.1 Base de Dados

A base de dados foi coletada utilizando-se um aplicativo para desenho desenvolvido para Android, executado em um tablet Samsung GalaxyTab 2 7.0. O aplicativo foi desenvolvido pelo aluno Marcos Guilherme, graduando do curso de Engenharia de Computação do CEFET-MG, campus VII, Timóteo (MIRANDA, 2014).

A base é composta de 80 diferentes símbolos que representam várias combinações de configuração de mão básicas do SignWriting e estes foram replicados em novas imagens, para comporem uma base de dados mais sólida a ser utilizada nas distintas técnicas de Reconhecimento de Padrões. Cada imagem foi replicada 15 vezes, totalizando 1200 imagens que compõem a base de dados.

A base foi dividida em dois grupos, sendo o primeiro composto de imagens coletadas pelo autor e o segundo, imagens coletadas por um grupo de, aproximadamente, 5 pessoas distintas. O primeiro grupo contém a maior parte das imagens (80%), 960 do total das 1200, enquanto o segundo contém as 240 imagens restantes (20%).

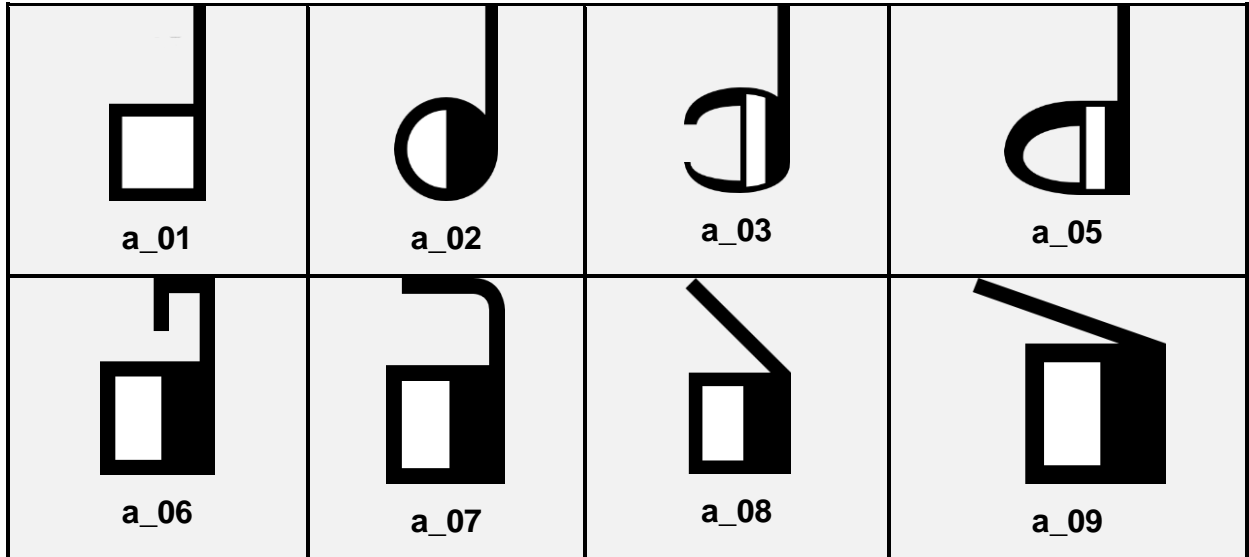
A divisão na base tem o propósito de tornar o processo de reconhecimento mais eficiente, além de estabelecer comparações ao longo desse processo.

A Figura 12 contém alguns dos 80 símbolos que compõe a base de dados. A listagem completa poder ser vista no Anexo I. Percebe-se que as figuras a_06, a_07, a_08 e a _09, possuem a mesma formação básica, diferenciando apenas no movimento do dedo (traço acima da base quadrada). Já as figuras a_01, a_02, a_03 e a_05 possuem formações básicas diferentes. Esses são um dos aspectos que facilitam e/ou dificultam o reconhecimento dos símbolos, uma vez que a chance de erros ao reconhecer figuras semelhantes aumenta.

A Figura 13 contém 3 diferentes coletas do símbolo a_01, coletadas para a Base 01. As imagens da Base 01 foram coletadas pelo mesmo usuário, mesmo assim, percebe-se diferença nos traços, mas um padrão bastante semelhante, como pode ser observado nas figuras (1) e (3).

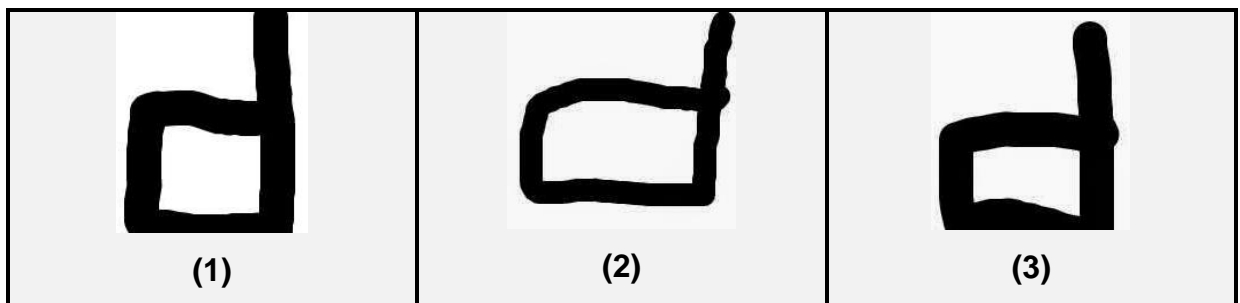
Já a Figura14 contém outras 3 diferentes coletas do mesmo símbolo (a_01), porém coletados para a Base 02. Por se tratar de uma coleta de usuários diferentes, percebe-se diferença nos traços ainda maiores que as observadas na Figura 14.

Figura 12: Exemplos de Símbolos da Base de Dados



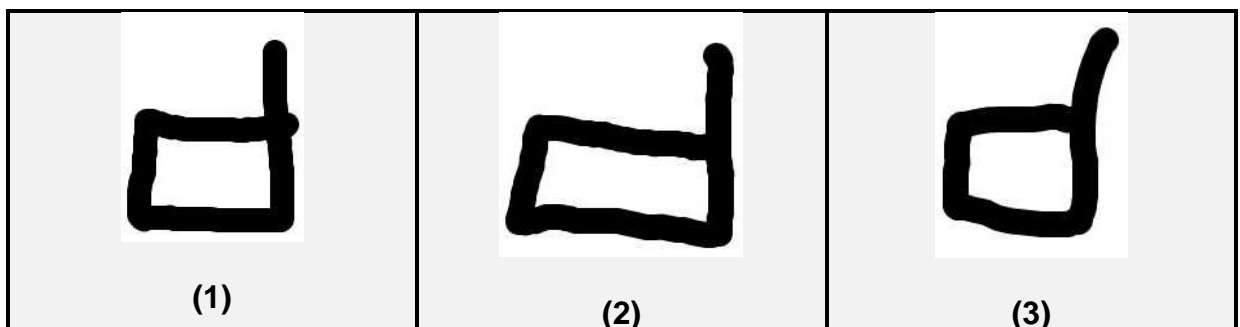
Fonte: (o autor)

Figura 13: Coletas do símbolo a_01 na Base 01



Fonte: (o autor)

Figura 14: Coletas do símbolo a_01 na Base 02



Fonte: (o autor)

5.2 Processamento das Imagens

O processamento das imagens foi realizado com o auxílio da biblioteca OpenCV, descrita no item 3.4, onde foram extraídas as características das imagens que compõe a base de dados, tais como histogramas verticais e horizontais, através de uma aplicação desenvolvida em C++.

A aplicação faz a leitura e interpretação das imagens presentes na base de dados, extrai suas características e gera como saída um arquivo no formato ARFF válido, a fim de ser importado e manipulado pela ferramenta Weka.

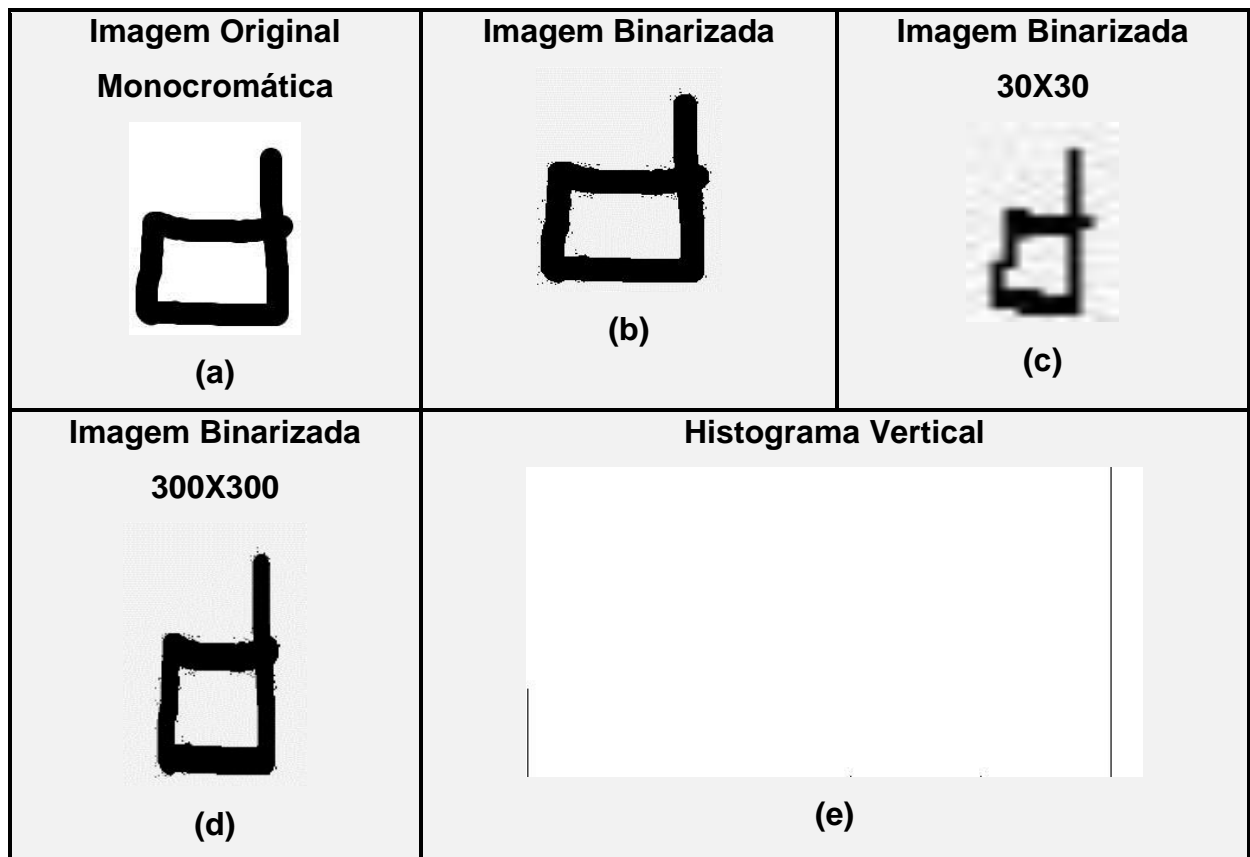
As características extraídas serviram para compor o arquivo ARFF, que é a entrada da ferramenta Weka, descrita no item 3.3, podendo assim aplicar os diversos algoritmos de Reconhecimento que compõe a ferramenta.

A extração de características se deu conforme os seguintes passos:

- É carregada a imagem original, oriunda de um arquivo JPEG (Figura 15 (a));
- A imagem é então binarizada (Figura 15(b));
- A imagem binarizada é então recortada, mantendo apenas a área útil (novas larguras e alturas), sendo então alterada para um tamanho de 30X30 pixels (Figura 15(c));
- A imagem binarizada é novamente redimensionada a um tamanho de 300X300 pixels, gerando uma imagem quadrada grande (Figura 15(d));
- Geração dos histogramas, descrito no item 5.2.1(Figura 15 (e));
- Geração do arquivo ARFF, descrito no item 5.2.2.

As imagens abaixo mostram os passos seguidos na extração das características.

Figura 15: Extração das Características



Fonte: (o autor)

5.2.1 Histogramas

O histograma de uma imagem em tons de cinza é uma função que produz o número de ocorrências de cada nível de cinza na imagem, ou seja, para cada nível de intensidade, o histograma representa o número de pixels desse nível, onde o eixo horizontal refere-se à intensidade (0 a 255) e o eixo vertical a quantidade de pixels que apresenta essa intensidade.

Para um melhor aproveitamento das características foram gerados histogramas verticais e horizontais para as duas bases utilizadas.

Os trechos de código 1 a 4 abaixo referem-se à função `histogram()` utilizada para o cálculo dos histogramas. A função recebe como parâmetro um objeto do tipo `IplImage` correspondente à imagem cujo histograma será calculado e retorna outro objeto também do tipo `IplImage` correspondente ao histograma calculado.

Código 1: Função histogram – Declaração das Variáveis

```

1  IplImage* histogram(IplImage *src){
2
3  // Tamanho de um histograma 1D
4  int bins = HIST_WIDTH;
5  inthsize[] = {bins};
6
7  IplImage* imgHistogram = 0;
8  CvHistogram* hist = 0;
9
10 float max_value = 0;
11 float min_value = 0;
12
13 float value;

```

Fonte: (o autor)

Nas linhas 4 e 5, é determinado o tamanho do histograma, cuja variável `HIST_WIDTH` é definida com o valor 256, que corresponde aos 256 tons de cinza, ou seja, o histograma terá 256 intervalos de valores diferentes de níveis de cinza.

Na linha 7 é declarada a variável `imgHistogram` do tipo `IplImage` que será o retorno da função.

Na linha 8 é declarada a variável `hist` do tipo `CvHistogram` que armazenará o histograma criado.

Nas linhas 10 a 13 são declaradas as demais variáveis utilizadas na função.

Código 2: Função histogram – Eixo X do histograma

```

14 // Ranges, escala de cinza: 0-256
15 float xranges[] = {0, 256};
16 float* ranges[] = {xranges};

```

Fonte: (o autor)

Na linha 15, tem-se a definição da faixa de valores do eixo X do histograma, neste caso, irá variar entre 0 e 256, e na linha 16 um ponteiro é criado para o array que contém a faixa de valores.

Código 3: Função histogram – Cálculo do histograma

```

17 int i;
18
19 IplImage* planes[] = {src};
20
21 hist = cvCreateHist(1, hsize, CV_HIST_ARRAY, ranges, 1);
22 cvCalcHist(planes, hist, 0, NULL);
23 cvGetMinMaxHistValue(hist, &min_value, &max_value);

```

Fonte: (o autor)

Na linha 19 é definida uma imagem do tipo `IplImage` que armazenará os valores correspondentes à imagem passada por parâmetro para a função.

Na linha 21 o histograma é criado com os parâmetros definidos nas linhas anteriores (Código 1 e Código 2) e na linha 22 os valores do histograma são calculados.

Código 4: Função histogram – Desenho do histograma

```

24 if (imgHistogram == NULL)
25 imgHistogram = cvCreateImage(cvSize(bins*2, HIST_HEIGHT), 8, 1);
26
27 // Desenha a area de trabalho do histograma
28 cvRectangle(imgHistogram, cvPoint(0,0),
29 cvPoint(HIST_WIDTH*2,HIST_HEIGHT), CV_RGB(255,255,255), -1);
30
31 // Desenhar as linhas do histograma
32 for (i=1 ; i <= bins ; i++)
33 {
34 // Pega o valor do histograma na posicao i da imagem
35 value = cvQueryHistValue_1D(hist, i-1);
36
37 // Printa a linha do Histograma
38 cvLine(imgHistogram, cvPoint((i*2)-1,HIST_HEIGHT),
39 cvPoint((i*2)-1,HIST_HEIGHT-value), CV_RGB(0, 0, 0));
40
41 makefile<< value << ",";
42 }
43
44 makefile<< "a_" <<endl;
45 return imgHistogram;
46 }
47

```

Fonte: (o autor)

Na linha 24 é criada a imagem onde serão impressos os valores do histograma.

Na linha 29 é desenhada a área de trabalho do histograma.

Nas linhas 33 a 42, as linhas do histograma são desenhadas, onde o valor de cada posição é pego pela função `cvQueryHistValue_1D` (linha 36) e impresso na imagem pela função `cvLine` (linha 39). Na linha 42, o valor pego na linha 36 é impresso em no arquivo de texto `makefile` para a geração do arquivo de dados de extensão `.arff` a ser interpretado pelo Weka.

A linha 45 delimita os valores da nova imagem a serem impressos no mesmo arquivo de dados.

Por fim, na linha 46 ocorre o retorno da função.

Um exemplo de um histograma de uma imagem pode ser observado na figura 14 (e).

5.2.2 Arquivo ARFF

O arquivo de extensão `.arff` é o arquivo responsável pela entrada dos dados na ferramenta Weka. Foram construídos 4 arquivos deste tipo, sendo um arquivo que contem os dados de todos os histogramas verticais e um arquivo que contem os dados de todos os histogramas horizontais, para ambas as bases.

O arquivo ARFF é formado por duas partes, sendo um cabeçalho que contém o nome da relação (nome do arquivo) e os atributos, e os dados propriamente ditos.

Ostrechos de código⁵ e⁶ abaixo correspondem ao arquivo gerado com os dados dos histogramas horizontais da Base 02.

Código 5: Arquivo .arff – Cabeçalho

1	@RELATION base2hor
2	@ATTRIBUTE pixel-0INTEGER
3	@ATTRIBUTE pixel-1INTEGER
4	@ATTRIBUTE pixel-2INTEGER
5	@ATTRIBUTE pixel-3INTEGER
...	...
256	@ATTRIBUTE pixel-254 INTEGER
257	@ATTRIBUTE pixel-255 INTEGER
258	@ATTRIBUTE classe {a_01,a_02,a_03,a_05,a_06,a_07,a_08,a_09,a_10,a_11,a_12,a_13,a_14,a_17,a_18,a_21,a_22,a_23,a_24,a_25,a_26,a_27,a_28,a_29,a_30,a_31,a_32,a_33,a_34a,a_34b,a_35,a_36,a_37,a_38,a_40,a_41,a_43,a_44,a_46,a_47,a_48,a_49,a_50,a_51,a_52,a_53,a_54,a_55,a_57,a_58,a_61,a_62,a_63,a_67,a_68,a_71,a_73,a_74,a_75,a_76,a_78,a_79,a_80,a_82,a_83,a_84,a_85,a_86,a_87,a_88,a_92,a_93a,a_96,a_99,a_100,a_102,a_103,a_104,a_105,a_106}

Fonte: (o autor)

As linhas 1 a 258 correspondem ao cabeçalho do arquivo.

Na linha 1 é definido o nome do arquivo, através do atributo @RELATION.

Nas linhas 2 a 257 são definidos os 256 atributos correspondentes aos 256 valores gerados pela função `histogram()` para cada um dos 256 tons de cinza da imagem. Todos eles são do tipo inteiro (classificados como atributos numéricos) e a ordem da declaração indica a posição de cada atributo na seção @DATA.

Na linha 258 é definido o atributo classe, que corresponde ao conjunto dos 80 símbolos que representam as configurações de mão, cujas imagens deverão ser classificadas. Este é um atributo classificado como categórico, ou seja, é preciso fornecer uma lista indicando todos os valores do atributo.

Código 6: Arquivo .arff – Dados

260	@DATA
261	233,0,0,0, ... ,0,0,0,654,0,0,0, ... ,0,0,0,a_28
262	253,0,0,0, ... ,0,0,0,642,0,0,0, ... ,0,0,0,a_51
263	195,0,0,0, ... ,0,0,0,692,0,0,0, ... ,0,0,0,a_57
264	228,0,0,0, ... ,0,0,0,660,0,0,0, ... ,0,0,0,a_106
...	...
498	239,0,0,0, ... ,0,0,0,641,0,0,0, ... ,0,0,0,a_46
499	222,0,0,0, ... ,0,0,0,663,0,0,0, ... ,0,0,0,a_36

Fonte: (o autor)

A linha 260 corresponde a marcação @DATA que indicará à ferramenta onde iniciam-se a leitura dos dados.

As linhas 261 a 499 contêm os dados propriamente dito das 240 imagens que compõem a base de dados. Cada linha contém 256 valores correspondentes a cada um dos atributos declarados no cabeçalho do arquivo, onde estes devem aparecer na ordem em que são declarados no cabeçalho, e o atributo de número 257 corresponde a qual classe a imagem deverá ser classificada. Também esta deverá estar de acordo com o conjunto de classes definido nas linhas 16 a 22. São, no total, 240 linhas de dados, sendo uma linha para cada imagem da base de dados.

5.3 Reconhecimento dos Símbolos

Foram escolhidos três algoritmos classificadores presentes na ferramenta Weka para o processo de reconhecimento dos símbolos SignWriting, sendo eles um algoritmo para gerar Árvore de Decisão, o J48; um Classificador Bayesiano Simples, o NaiveBayes; e uma Rede Neural de Múltiplas Camadas, MultiLayer Perceptron (MLP), cujas descrições podem ser observadas nos itens 3.4.1, 3.4.2, 3.4.3, respectivamente.

Os algoritmos foram rodados para os dados obtidos através da geração dos histogramas verticais e horizontais das duas bases em que as amostras foram divididas.

É importante ressaltar que a escolha dos algoritmos se deu através da leitura de trabalhos relacionados, da frequência de uso destes, bem como do sucesso de aplicação em problemas semelhantes.

Os itens 5.3.1, 5.3.2 e 5.3.3 abaixo, correspondem a saída do Weka relativa ao índice de acertos/erros do retorno de cada algoritmo para os dados dos histogramas horizontais para a Base 02. Uma descrição detalhada da saída Weka para a mesma base de dados pode ser vista no Apêndice C.

5.3.1 J48

Como descrito no item 3.4.1, o algoritmo J48 é um algoritmo para geração de árvore de decisão. O trecho de código abaixo corresponde a um sumário com os resultados obtidos.

O algoritmo J48 obteve 40,7407% das instâncias da base de teste corretamente e 59,2593% classificadas incorretamente (linhas 174 e 175, respectivamente), como pode ser visto no código 7.

Código 7: Saída J48 – Sumário

171	=== Evaluation on test split ===		
172	=== Summary ===		
173			
174	Correctly Classified Instances	33	40.7407 %
175	Incorrectly Classified Instances	48	59.2593 %
176	Kappa statistic	0.3955	
177	Mean absolute error	0.015	
178	Root mean squared error	0.1041	
179	Relative absolute error	60.6039 %	
180	Root relative squared error	93.5727 %	
181	Total Number of Instances	81	

Fonte: (o autor)

5.3.2 NaiveBayes

Como descrito no item 3.4.2, o algoritmo NaiveBayes é um método probabilístico com base no Teorema de Bayes. O trecho de código abaixo corresponde a um sumário com os resultados obtidos.

O algoritmo NaiveBayes obteve 48,1481% das instâncias da base de teste classificadas corretamente e 51,8519% classificadas incorretamente (linhas 1561 e 1562, respectivamente), como pode ser visto no código 8.

Código 8: Saída NaiveBayes – Sumário

1558	=== Evaluation on test split ===		
1559			
1560	=== Summary ===		
1561	Correctly Classified Instances	39	48.1481 %
1562	Incorrectly Classified Instances	42	51.8519 %
1563	Kappa statistic	0.4708	
1564	Mean absolute error	0.0128	
1565	Root mean squared error	0.1036	
1566	Relative absolute error	52.0554 %	
1567	Root relative squared error	93.1665 %	
1568	Total Number of Instances	81	

Fonte: (o autor)

5.3.3 MultiLayerPerceptron (MLP)

Como descrito no item 3.4.3, as redes MultiLayer Perceptron (MLP) são redes neurais de múltiplas camadas. O trecho de código abaixo corresponde a um sumário com os resultados obtidos.

O algoritmo MLP obteve 53,0864% das instâncias da base de teste classificadas corretamente e 46,9136% classificadas incorretamente (linhas 57451 e 57452, respectivamente), como pode ser visto no código 9.

Código 9: Saída MLP – Sumário

57448	=== Evaluation on test split ===		
57449	=== Summary ===		
57450			
57451	Correctly Classified Instances	43	53.0864 %
57452	Incorrectly Classified Instances	38	46.9136 %
57453	Kappa statistic	0.5227	
57454	Mean absolute error	0.0139	
57455	Root mean squared error	0.0907	
57456	Relative absolute error	56.141 %	
57457	Root relative squared error	81.5375 %	
57458	Total Number of Instances	81	

Fonte: (o autor)

5.3.4 Resultados

O quadro abaixo reúne os dados dos três algoritmos utilizados (J48, NaivesBayes e MLP) para cada uma das amostras (histogramas verticais e horizontais das Bases 01 e 02), com as respectivas taxas de acertos e erros de cada algoritmo.

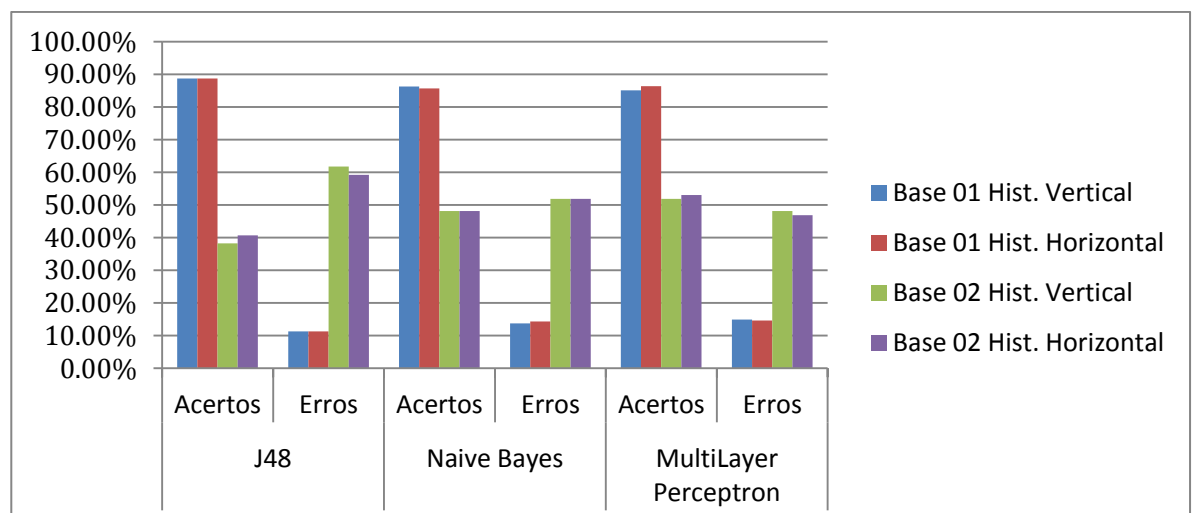
Quadro 1: Acertos/Erros

		J48		NaiveBayes		MultiLayerPerceptron	
		Acertos	Erros	Acertos	Erros	Acertos	Erros
Base 01	Hist. Vertical	88,7195%	11,2805%	86,2805%	13,7195%	85,061%	14,939%
	Hist. Horizontal	88,7195%	11,2805%	85,6707%	14,3293%	86,3659%	14,6341%
Base 02	Hist. Vertical	38,2716%	61,7284%	48,1481%	51,8519%	51,8519%	48,1481%
	Hist. Horizontal	40,7407%	59,2593%	48,1481%	51,8519%	53,0864%	46,9136%

Fonte: (o autor)

Os mesmos percentuais podem ser vistos também no Gráfico 1:

Gráfico 1: Acertos/Erros



Fonte: (o autor)

O índice de acertos na Base 01 para todos os métodos foi significativamente maior do que na Base 02. Tal estatística já era esperada, uma vez que a Base 01

possui quatro vezes mais a quantidade de elementos (símbolos SignWriting) do que a Base 02.

O maior percentual de acertos da Base 01 se deu com o algoritmo para geração de árvore de decisão J48, que fora o pior percentual de acertos para a Base 02. Enquanto o maior percentual de acertos da Base 02 se deu com o algoritmo de redes MLP, que também fora o pior percentual de acertos para a Base 01 .

A estatística observada para a Base 02 era de fato a esperada, diferentemente dos resultados revelados para a Base 01. Acredita-se que o fato de a Base 01 ser composta de uma maior quantidade de dados e esses dados terem sido manipulados pela mesma pessoa, tenha tornado-a uma base de dados viciada, interferindo assim nos resultados.

6 CONCLUSÃO

A LIBRAS é a língua de sinais oficial do país, utilizada pela comunidade surda, no entanto, por se tratar de um contexto gestual, ainda não existe representação textual/escrita para tal. O sistema SignWriting aliado às técnicas de Reconhecimento de Padrões facilita esse processo, pois trata-se de uma alternativa para se escrever Linguagem de Sinais.

Para isso, foram escolhidas duas ferramentas de auxílio: a ferramenta gráfica OpenCV, utilizada na extração das características; e o software livre Weka, utilizado para o reconhecimento em si. Ambas as ferramentas ofereceram grande ajuda no desenvolvimento do projeto, por já trazerem consigo aplicações específicas da área de Reconhecimento de Padrões, facilitando o processo metodológico.

Foram escolhidos três algoritmos classificadores:

- J48: para a geração de Árvores de Decisão;
- NaiveBayes: Classificador Bayesiano Simples;
- Rede MLP: rede neural de Múltiplas Camadas.

Os algoritmos foram escolhidos por se tratarem de naturezas distintas (uma árvore de decisão, um classificador lógico e uma rede neural, respectivamente), e por obterem sucesso em literaturas da área.

Os três algoritmos foram aplicados nos dados extraídos dos histogramas verticais e horizontais das duas bases coletadas.

Na base que possuía uma menor quantidade de elementos, conforme o esperado, a Rede MLP obteve uma maior taxa de acerto, 51,8519% para os histogramas verticais e 53,0864% para os histogramas horizontais. Enquanto que na base que possuía uma maior quantidade de elementos, a Árvore J48 obteve uma maior taxa de acerto, 88,7195% tanto para os histogramas verticais quanto para os histogramas horizontais. Acredita-se na chance da base de dados maior ser uma base viciada, uma vez que os dados foram coletados pela mesma pessoa.

Apesar da chance de existir uma base viciada na primeira base, e um pequeno número de símbolos na segunda, obteve-se o processo de Reconhecimento das imagens SignWriting, passando pela coleta dos dados,

extração das características e identificação, conforme visto na teoria de Reconhecimento de Padrões, no item 3.2.

A coleta dos dados abrange o recolhimento das 1200 imagens correspondente à 80 diferentes símbolos que representam várias combinações de configuração de mão básicas do SignWriting. As imagens foram divididas em dois grupos a fim de obter análises e comparações entre eles no processo de reconhecimento. A coleta deu-se pelo aplicativo de desenho SignBank desenvolvido para Android.

A extração das características abrange a obtenção dos histogramas verticais e horizontais de cada uma das 1200 imagens que compõem as bases de dados. Para isso, foi utilizada a biblioteca open source OpenCV, largamente recomendada por diversas literaturas da área. A biblioteca também foi utilizada no tratamento das imagens, antes da extração das características das mesmas.

Com os dados extraídos dos histogramas das imagens, foram gerados os arquivos de extensão ARFF, responsável pela entrada dos dados na ferramenta Weka. Esse arquivo é o responsável pela identificação das classes, uma vez que nele contem os registros de todos os histogramas da base de dados determinada, bem como a indicação à qual classe pertence.

Por fim, a identificação corresponde à última etapa do processo estabelecido. Nessa etapa foram rodados três algoritmos da ferramenta de software livre Weka. A função de cada algoritmo é identificar a taxa de erros e acertos para cada uma das bases, de acordo com o arquivo ARFF de entrada.

O processo obtido foi satisfatório prometendo evolução na taxa de acertos à medida que os parâmetros encontrados forem ajustados.

7 TRABALHOS FUTUROS

Como continuação desse trabalho, sugere-se ampliar a base de dados e estabelecer novas divisões e classificações internas, tais como idade de quem as desenhou, divisão por grupos de símbolos primários originários, dentre outras.

Pode-se realizar também testes com outros algoritmos de Reconhecimento incorporados à própria ferramenta Weka, ou a outra ferramenta ou, até mesmo, à implementações próprias. A fim de obter resultados ainda mais satisfatórios e comparações ainda mais precisas.

Pode-se também aumentar a base de dados e extrair outros diferentes tipos de características das imagens. A fim, também, de tornar o Reconhecimento ainda mais preciso e satisfatório.

Outro trabalho que também poderá ser realizado a prazos futuros é o reconhecimento de expressões faciais, tais como sobrancelhas, boca, dentes, bochechas, dentre outras, que também existem no alfabeto do SingWriting, bem como de figuras compostas e de movimentos, uma vez que o foco deste trabalho foi o reconhecimento dos símbolos primários, ou símbolos básicos.

REFERÊNCIAS

- AZEREDO, E., **Língua Brasileira de Sinais** “Uma Conquista Histórica”, Brasília, 2006. Disponível em: <http://www.prefeitura.sp.gov.br/cidade/secretarias/upload/pessoa_com_deficiencia/arquivos/Libras_Uma_conquista_historica.pdf>. Acesso em: 23 ago. 2013.
- BARBOSA, B., C.; MELO, J., R. de; SOTUYO, J., A.; MATRAKAS, M., D., **Visão Computacional Aplicada para o Reconhecimento da Mão como Marcador Virtual**, Foz do Iguaçu, 2013. Disponível em: <<http://udc.edu.br/v3/udcanglo/producoes/SEICOM2013/files/Artigo01.pdf>>. Acesso em: 10 out. 2014.
- BRADSKY, G. R.; PISAREVSKY, V.; BOUGUET, J., **Learning OpenCV: Computer Vision with the OpenCV Library**. Springer, Estados Unidos, 2006.
- BRASIL, Decreto 5.689, de 22 de dezembro de 2005, **DECRETO Nº 5.626, DE 22 DE DEZEMBRO DE 2005**, Brasília, 2005. Disponível em: <http://www.planalto.gov.br/ccivil_03/_ato2004-2006/2005/decreto/d5626.htm>. Acesso em: 06 out. 2014.
- CARVALHO, C., E., S., de, **Reconhecimento de Caracteres Manuscritos Utilizando Redes Neurais Artificiais**, Brasília, 2006. Disponível em: <<http://repositorio.uniceub.br/bitstream/123456789/3195/2/9972772.pdf>>. Acesso em: 10 out. 2014.
- CASTRO, A. A. M. de, PRADO, P. P. L. do, **Algoritmos para Reconhecimento de Padrões**. *Rev. Cienc. Exatas*, Taubaté, v. 5-8, p. 129-145, 1999-2002. Disponível em: <<http://site.unitau.br/scripts/prppg/exatas/downloads/algoritmosreconhecimento-99-02.pdf>>. Acesso em: 05 fev. 2014.
- FAYYAD, U.; PIATETSKY-SHAPIO, G.; SMYTH, P., **The KDD Process for Extracting Useful Knowledge from Volumes of Data**, 1996.
- FILHO, G. O., **Classificação do Número de Pessoas nas Motos em Imagens de Trânsito Corretamente Segmentadas**, Quixadá, 2013. Disponível em: <<http://www.repositoriobib.ufc.br/000012/00001221.pdf>>. Acesso em: 10 out. 2014.
- FRAGA, C. S.; VIANA, G. C., **ABC SignWriting: Um Software para Auxiliar na Alfabetização dos Surdos Utilizando uma Rede Neural Artificial**, Salvador, 2007. Disponível em: <http://info.ucsal.br/banmon/Arquivos/Mono_060707.PDF>. Acesso em: 23 ago. 2013.
- GERONIMO, T. M.; CRUZ, C. E. D.; CAMPOS, F. de S.; AGUIAR, P. R.; BIANCHI, E. C., **MLP and ANFIS Applied to the Prediction of Hole Diameters in the Drilling Process**, Bauru, SP. Disponível em: <<http://www.intechopen.com/books/artificial-neural-networks-architectures-and-applications/mlp-and-anfis-applied-to-the-prediction-of-hole-diameters-in-the-drilling-process>>. Acesso em: 06 out. 2014.

GRACIANO, A. B. V., **Rastreamento de Objetos Baseado em Reconhecimento Estrutural de Padrões**, São Paulo, 2007.

GUIMARÃES, A. S., **Utilizando Características Morfológicas de Tecidos Histológicos para Auxílio ao Diagnóstico de Câncer de Colo Uterino**, Ribeirão Preto, 2012. Disponível em: <<http://dcm.ffclrp.usp.br/ibm/upload/amanda.pdf>>. Acesso em: 10 out. 2014.

LOPES, F., M., **Introdução ao Reconhecimento de Padrões e Aplicações em Problemas de Bioinformática**, 2012. Disponível em: <http://www.ime.usp.br/posbioinfo/cv2012/reconhecimentoPadroes_FabricaoLopes.pdf>. Acesso em: 10 out. 2014.

MACHADO, B., B., **Implementação de um Algoritmo de Reconhecimento Facial Usando EigenFace**, Belo Horizonte, 2009. Disponível em: <<http://revistas.unibh.br/index.php/dcet/article/view/247/137>>. Acesso em: 10 out. 2014.

MARENGONI, M; STRINGHNI, D, **Introdução a Visão Computacional usando OpenCV**, 2009.

MARQUES de SÁ, J. P., **Reconhecimento de Padrões**, Faculdade de Engenharia da Universidade do Porto, 2000. Disponível em: <<http://paginas.fe.up.pt/~jmsa/recpad/>>. Acesso em: 11 jul. 2014.

MIRANDA, A., **SignBankMobile – A Data Collection Environment for Deaf Culture Handwriting Recognition System**, 2014

MITCHELL, T., M., **Machine Learning**, 1997, Pag. 5 - 9.

NASCIMENTO, J., D. do, **Detecção e Reconhecimento de Placa Automotiva com Baixo Custo**, Brasília, 2012. Disponível em: <<http://repositorio.uniceub.br/bitstream/235/3665/2/Monografia%20JEAN%20DIAS%202012.pdf>>. Acesso em: 10 out. 2014.

NAVEGA, S., **Princípios Essenciais do DataMining**, São Paulo, 2002. Disponível em: <<http://www.intelliwise.com/reports/i2002.htm>>. Acesso em: 10 out. 2014.

OPENCV, OpenCV (Open Source Computer Vision), Disponível em: <<http://opencv.org/>>. Acesso em: 12 jul. 2014.

QUADROS, R. M. de, Um capítulo da história do SignWriting. In **A History of SignWriting Written in Brazilian Portuguese**. Disponível em: <<http://www.signwriting.org/library/history/hist010.html>>. Acesso em: 09 ago. 2013.

RAMISCH, C., **Trabalho Prático de Mineração de Dados - Algoritmos de Aprendizado para Avaliação de Carros**, 2009. Disponível em: <http://www.inf.ufrgs.br/~ceramisch/download_files/courses/Undergraduate_BRAZIL/UFRGS_2009_1/Topicos_Especiais_em_Computacao_I_-_Mineracao_de_Dados_-_INF01179/Trabalho_1_-_Car_Evaluation/Relatorio.pdf>. Acesso em: 10 out. 2014.

RAUBER, T. W., **Reconhecimento de Padrões**. Mini-Curso. JOURNEY OF ACTUALIZATION IN COMPUTER SCIENCE XVII. CONGRESS OF THE BRAZILIAN COMPUTER SCIENCE SOCIETY, Brasília, DF, 1997.

ROCHA, F., Z., F., **Proposta de um Padrão Manuscrito para Reconhecimento Automático dos Símbolos do Sistema SignWriting (SW)**, Pelotas, 2003. Disponível em: <<http://www.signwriting.org/archive/docs1/sw0081-BR-Monografia.pdf>>. Acesso em: 10 out. 2014.

RODRIGUES, F., A.; AMARAL, L., R., do, **Aplicação de Métodos Computacionais de Mineração de Dados na Classificação e Seleção de Oncogenes Medidos por Microarray**, 2012. <http://www.inca.gov.br/rbc/n_58/v02/pdf/14_artigo_aplicacao_metodos_computacionais_mineracao_dados_classificacao_selecao_oncogenes_medidos_microarray.pdf>. Acesso em: 10 out. 2014.

SILVA, R. C. da, **SignWriting: Um Sistema de Escrita das Línguas Gestuais**: Aplicação à Língua Gestual Brasileira, Escola Superior de Educação de Coimbra, dez. 2012. Disponível em: <<http://www.exedrajournal.com/exedrajournal/wp-content/uploads/2013/01/31-numerotematico-2012.pdf>>. Acesso em: 25 jul. 2013.

STUMPF, M. R., **Linguagem de Sinais: escrita dos surdos na Internet**. In V CONGRESSO IBEROAMERICANO DE INFORMÁTICA EDUCATIVA, 2000, ViñaDelmar, Chile. Disponível em: <<http://www.ufrgs.br/niee/eventos/RIBIE/2000/papers/031.htm>>. Acesso em: 28 jul. 2013.

STUMPF, M. R., **Aprendizagem de escrita de língua de sinais pelo sistema signwriting**: línguas de sinais no papel e no computador, Porto Alegre, 2005. Disponível em: <<http://www.lume.ufrgs.br/bitstream/handle/10183/5429/000515254.pdf?sequence=1>>. Acesso em: 05 ago. 2013.

SUTTON, V., **Lições sobre o SignWriting**: Um Sistema de Escrita para Língua de Sinais. Tradução de Marianne Rossi Stumpf. Colaboração de Antônio Carlos da Rocha Costa e Ronice Muller de Quadros. DAC – DeafActionCommittee for SignWriting, 2002.

TAVARES, C.; BONZZA, D.; KONO, F., **Descoberta de Conhecimento Aplicado a Dados Eleitorais**, 2007. Disponível em: <http://gc.facet.br/v5n1/pdf/descoberta_de_conhecimento_aplicado_a_dados_eleitorais.pdf>. Acesso em: 10 out. 2014.

THEODORIDIS, S.; KOUTROUMBAS, K., **Pattern Recognition**, 1999.

TOU, J. T., GONZÁLEZ, R. C., **Pattern Recognition Principles**, Massachusetts, 1981.

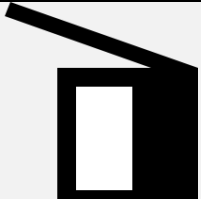
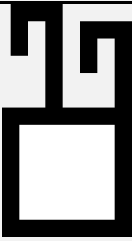
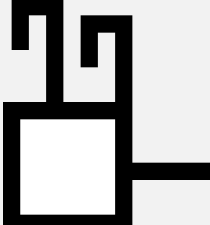
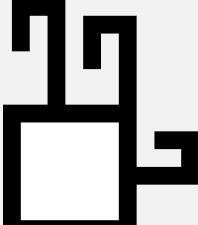
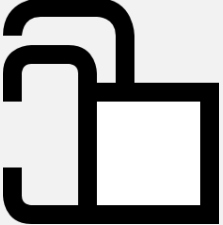
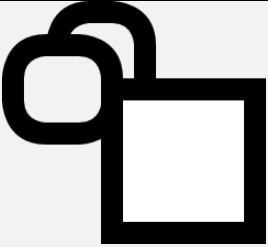
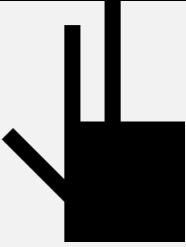
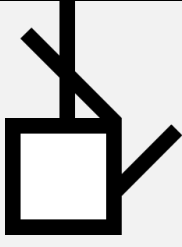
VALIN, A., **Inteligência Artificial**: Reconhecimento de Padrões, 29 out. 2009. Disponível em: <<http://www.tecmundo.com.br/seguranca/3014-inteligencia-artificial-reconhecimento-de-padroes.htm>>. Acesso em: 05 fev. 2014.

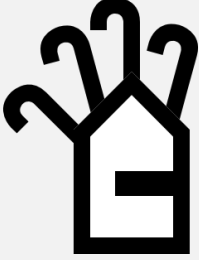
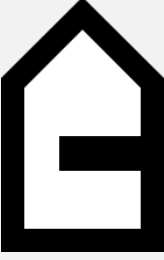
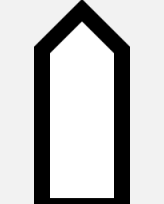
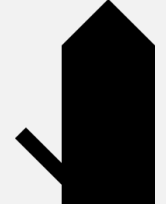
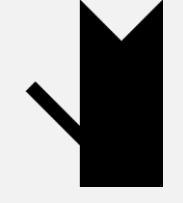
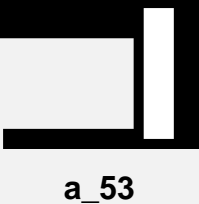
WEKA, Weka (Waikato Environment for Knowledge Analysis), Disponível em: <<http://www.cs.waikato.ac.nz/ml/weka/>>. Acesso em: 12 maio. 2014.

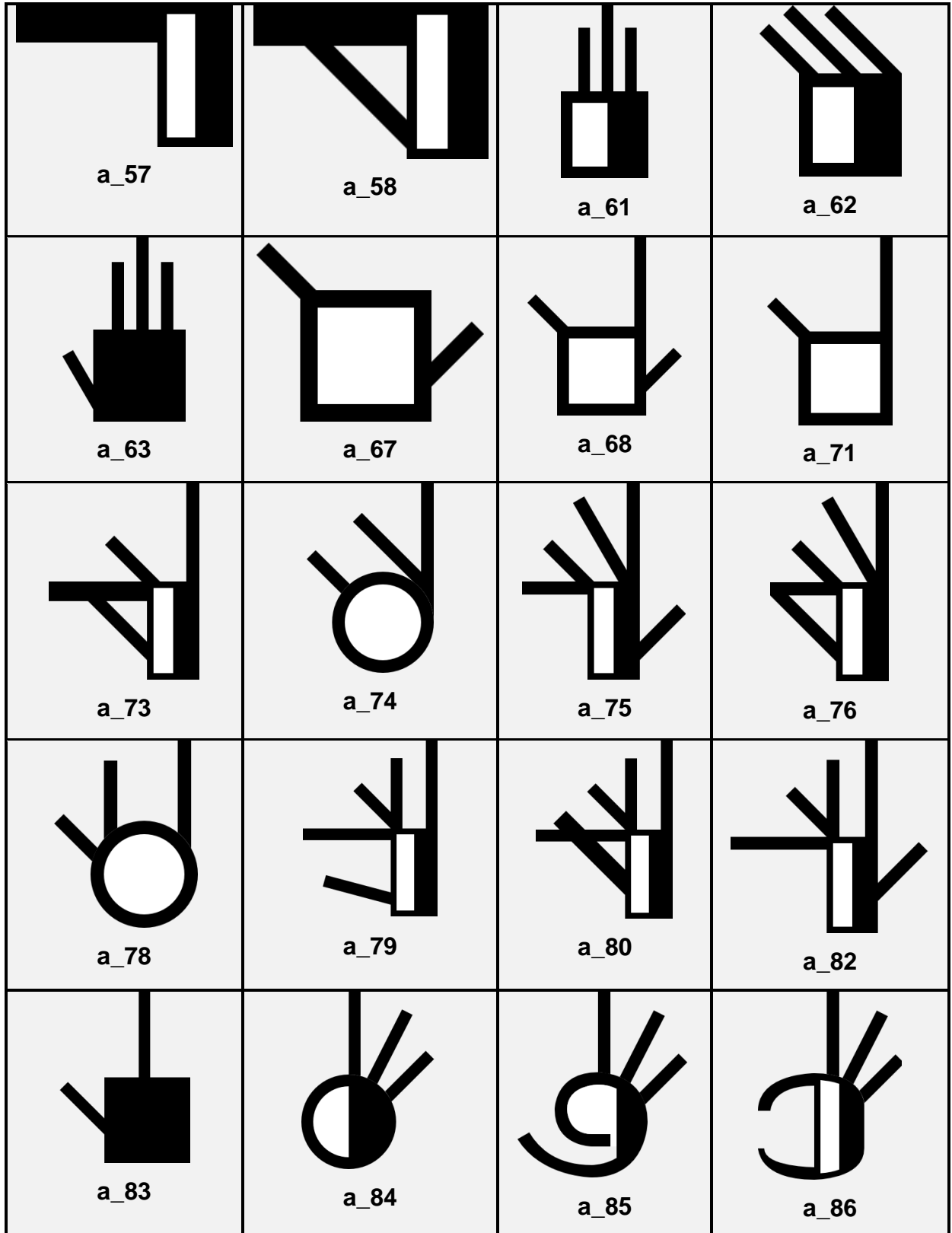
WIZBICKI, A.; BATTIST, G., **Reconhecimento de Padrões em Imagens Aplicando Visão Computacional**. Relatório Técnico-Científico. XXII Seminário de Iniciação Científica, 2014. Disponível em: <<https://www.revistas.unijui.edu.br/index.php/salaoconhecimento/article/viewFile/3408/2813>>. Acesso em: 10 out. 2014.

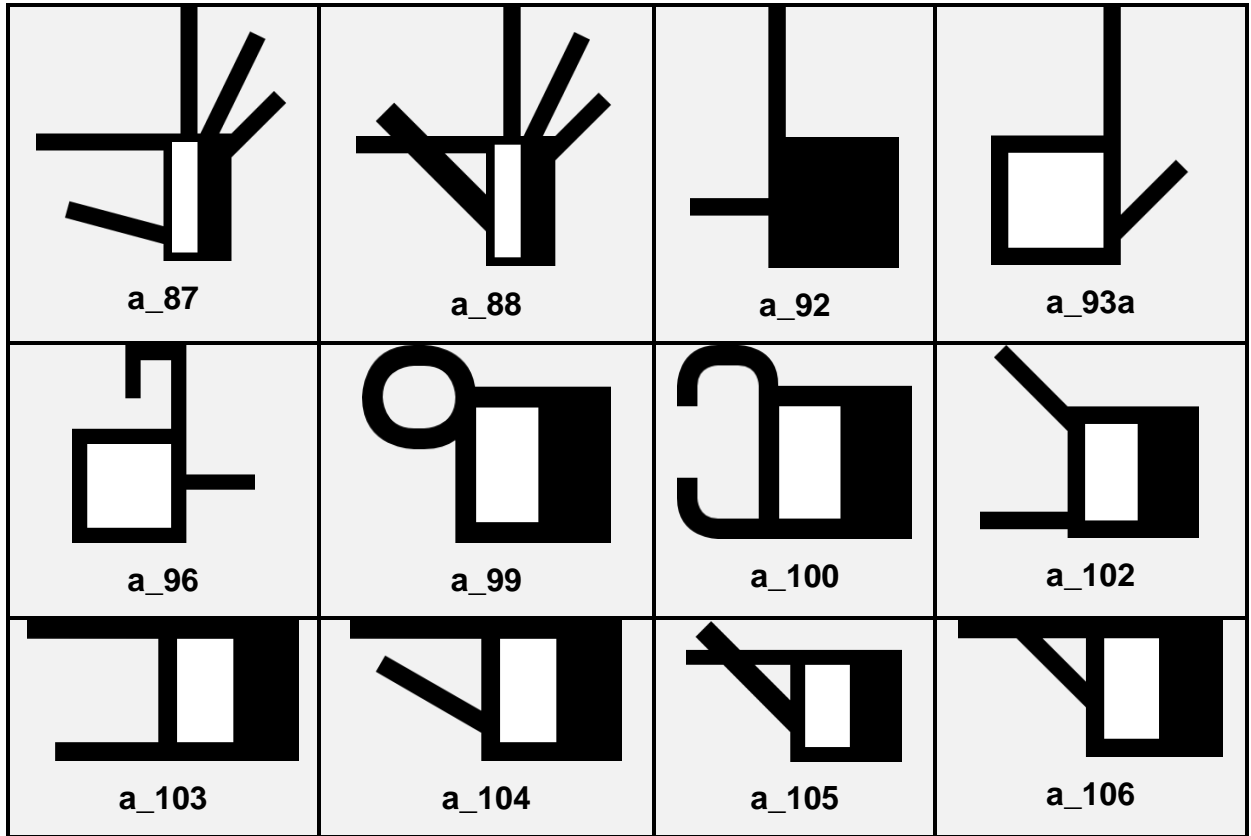
SignWriting, 2012. Disponível em: <<http://www.libras.com.br/signwriting/signwriting-dp1>>. Acesso em: 09 ago. 2013.

APÊNDICEA: Listagem Completa das 80 classes

 a_01	 a_02	 a_03	 a_05
 a_06	 a_07	 a_08	 a_09
 a_10	 a_11	 a_12	 a_13
 a_14	 a_17	 a_18	 a_21
 a_22	 a_23	 a_24	 a_25
 a_26	 a_27	 a_28	 a_29

a_26	a_27	a_28	a_29
 <p data-bbox="331 568 403 602">a_30</p>	 <p data-bbox="659 568 730 602">a_31</p>	 <p data-bbox="970 568 1042 602">a_32</p>	 <p data-bbox="1265 568 1337 602">a_33</p>
 <p data-bbox="323 853 411 887">a_34a</p>	 <p data-bbox="643 853 730 887">a_34b</p>	 <p data-bbox="970 853 1042 887">a_35</p>	 <p data-bbox="1265 853 1337 887">a_36</p>
 <p data-bbox="331 1144 403 1178">a_37</p>	 <p data-bbox="659 1144 730 1178">a_38</p>	 <p data-bbox="970 1144 1042 1178">a_40</p>	 <p data-bbox="1265 1144 1337 1178">a_41</p>
 <p data-bbox="331 1424 403 1458">a_43</p>	 <p data-bbox="659 1424 730 1458">a_44</p>	 <p data-bbox="970 1424 1042 1458">a_46</p>	 <p data-bbox="1265 1424 1337 1458">a_47</p>
 <p data-bbox="331 1704 403 1738">a_48</p>	 <p data-bbox="659 1704 730 1738">a_49</p>	 <p data-bbox="970 1704 1042 1738">a_50</p>	 <p data-bbox="1265 1704 1337 1738">a_51</p>
 <p data-bbox="331 1939 403 1973">a_52</p>	 <p data-bbox="659 1939 730 1973">a_53</p>	 <p data-bbox="970 1939 1042 1973">a_54</p>	 <p data-bbox="1265 1939 1337 1973">a_55</p>





Fonte: (o autor)

**APÊNDICE B: Saídas Weka para os dados dos Histogramas Horizontais – Base
02**

1 J48

```

1  === Run information ===
2
3  Scheme:weka.classifiers.trees.J48 -C 0.25 -M 2
4  Relation:      base2hor
5  Instances:    239
6  Attributes:   257
7  [list of attributes omitted]
8  Test mode: split 66.0% train, remainder test
9
10 === Classifier model (full training set) ===
11
12 J48 pruned tree
13 -----
14
15 pixel-0 <= 191
16 |   pixel-0 <= 138
17 | |   pixel-0 <= 111
18 | | |   pixel-54 <= 1
19 | | | |   pixel-0 <= 90: a_06 (4.0)
20 | | | |   pixel-0 > 90: a_01 (5.0)
21 | | | |   pixel-54 > 1: a_78 (4.0)
...
159 | | | |   pixel-54 > 0
160 | | | | |   pixel-188 <= 0: a_27 (3.0)
161 | | | | |   pixel-188 > 0: a_54 (2.0/1.0)
162 | | | | |   pixel-107 > 1: a_43 (4.0/1.0)
163
164 Number of Leaves   :      75
165
166 Size of the tree   :      149
167
168
169 Time taken to build model: 0.31 seconds
170
171 === Evaluation on test split ===
172 === Summary ===
173
174 Correctly Classified Instances      33          40.7407 %
175 Incorrectly Classified Instances    48          59.2593 %
176 Kappa statistic                    0.3955
177 Mean absolute error                 0.015
178 Root mean squared error             0.1041
179 Relative absolute error             60.6039 %
180 Root relative squared error        93.5727 %
181 Total Number of Instances          81
182
183 === Detailed Accuracy By Class ===
184
185 TP Rate   FP Rate   Precision   Recall   F-Measure   ROC Area   Class
186 1         0         1         1         1         1         a_01
187 1         0.025     0.5       1         0.667     0.987a_02
188 1         0         1         1         1         1         a_03
189 0.333     0.026     0.333     0.333     0.333     0.656     a_05

```

```

...
264 0      0      0      0      0      0      ?      a_105
265 0      0      0      0      0      0      0.994  a_106
267
268 === Confusion Matrix ===
269
270 a  b  c  d  e  f  g  h  i  ... cacb<-- classified as
271 10  0  0  0  0  0  0  0  0  ... 00 | a = a_01
272 02  0  0  0  0  0  0  0  0  ... 00 | b = a_02
273 00  2  0  0  0  0  0  0  0  ... 00 | c = a_03
274 02  0  1  0  0  0  0  0  0  ... 00 | d = a_05
...
349 00  0  0  0  0  0  0  0  0  ... 00 | ca = a_105
350 0  00  0  0  0  0  0  0  0  ... 00 | cb = a_106

```

Fonte: (o autor)

2 NaiveBayes

```

1  === Run information ===
2
3  Scheme:weka.classifiers.bayes.NaiveBayes
4  Relation:      base2hor
5  Instances:     239
6  Attributes:    257
7  [list of attributes omitted]
8  Test mode:split 66.0% train, remainder test
9
10 === Classifier model (full training set) ===
11
12 Naive Bayes Classifier
13
14          Class
15 Attribute  a_01      a_02      a_03      a_05      ...      a_105      a_106
16 (0.02)    (0.02)    (0.02)    (0.02)    ...    (0.01)    (0.01)
17 =====
18 pixel-0
19 mean      99.8629    122.4 124.3429 121.2343  ...279.7714 227.3143
20 std. dev.  6.2171     0.3238 0.3238    5.44    ...0.3238 0.3238
21 weight sum    5         5         5         ...         2         2
22 precision  1.9429     1.9429 1.9429    1.9429  ... 1.9429 1.9429
23
24 pixel-1
25 mean        0         0         0         0         ...         0         0
   std. dev.  0.0017    0.0017 0.0017    0.0017  ... 0.0017 0.0017

```

26	weight sum	5	5	5	5	...	2	2
27	precision	0.01	0.01	0.01	0.01	...	0.01	0.01
28								
29	pixel-2							
30	mean	0	0	0	0	...	0	0
31	std. dev.	0.0017	0.0017	0.0017	0.0017	...	0.0017	0.0017
32	weight sum	5	5	5	5	...	2	2
33	precision	0.01	0.01	0.01	0.01	...	0.01	0.01
...	...							
1542	pixel-254							
1543	mean	0	0	0	...	0	0	
1544	std. dev.	0.0017	0.0017	0.0017	...	0.0017	0.0017	
1545	weight sum	5	5	5	...	2	2	
1546	precision	0.01	0.01	0.01	0.01	...	0.01	0.01
1547								
1548	pixel-255							
1549	mean	0	0	0	0	...	0	0
1550	std. dev.	0.0017	0.0017	0.0017	0.0017	...	0.0017	0.0017
1551	weight sum	5	5	5	5	...	2	2
1552	precision	0.01	0.01	0.01	0.01	...	0.01	0.01
1553								
1554								
1555								
1556	Time taken to build model: 0.06 seconds							
1557								
1558	=== Evaluation on test split ===							
1559								
1560	=== Summary ===							
1561	Correctly Classified Instances				39		48.1481 %	
1562	Incorrectly Classified Instances				42		51.8519 %	
1563	Kappa statistic				0.4708			
1564	Mean absolute error				0.0128			
1565	Root mean squared error				0.1036			
1566	Relative absolute error				52.0554 %			
1567	Root relative squared error				93.1665 %			
1568	Total Number of Instances				81			
1569								
1570	=== Detailed Accuracy By Class ===							
1571								
1572	TP Rate	FP Rate	Precision	Recall	F-Measure	ROC Area	Class	
1573	1	0.025	0.333	1	0.5	1	a_01	

1574	1	0	1	1	1	1	1	a_02								
1575	1	0	1	1	1	1	1	a_03								
1576	0.333	0	1	0.333	0.5	0.94		a_05								
...		...														
1651	0	0	0	0	0	?		a_105								
1652	1	0	1	1	1	1	1	a_106								
1654																
1655	=== Confusion Matrix ===															
1656																
1657	a	b	c	d	e	f	g	h	i	...	ca	cb	<--	classified	as	
1658	10	0	0	0	0	0	0	0	0	...	00		a	=	a_01	
1659	02	0	0	0	0	0	0	0	0	...	00		b	=	a_02	
1660	00	2	0	0	0	0	0	0	0	...	00		c	=	a_03	
1661	20	0	1	0	0	0	0	0	0	...	00		d	=	a_05	
...																
1736	0	00	0	0	0	0	0	0	0	...	00		ca	=	a_105	
1737	3	0	0	0	0	0	0	0	0	...	0	1		cb	=	a_106

Fonte: (o autor)

3 MultiLayerPerceptron (MLP)

```

1  === Run information ===
2
3  Scheme:weka.classifiers.functions.MultilayerPerceptron -L 0.3 -M 0.2
   -N 500 -V 0 -S 0 -E 20 -H a
4  Relation:      base2hor
5  Instances:     239
6  Attributes:    257
7  [list of attributes omitted]
8  Test mode:split 66.0% train, remainder test
9
10 === Classifier model (full training set) ===
11
12 Sigmoid Node 0
13   Inputs      Weights
14   Threshold   -0.5909650217242758
15 Node 80      -0.826749664281111
16   Node 81     -0.23739546682785256
...   ...
182   Node 247    -1.141665925516809
...   ...
13521 Sigmoid Node 79
13522   Inputs      Weights
13523   Threshold   -0.0602299962224372
13524 Node 80      -0.6406525151691054
13525   Node 81     -0.24489328000594557
...   ...
13691   Node 247    -0.5276770038216345
13692 Sigmoid Node 80
13693   Inputs      Weights
13694   Threshold   -0.007461703162840005
13695   Attrib pixel-0  0.8717836843019202
13696   Attrib pixel-1  0.03316112828854176
13697   Attrib pixel-2  -0.02884390897573923
...   ...
13949   Attrib pixel-254  0.005417494352333574
13950   Attrib pixel-255  -0.0496083955834057
...   ...
56945 Sigmoid Node 247
56946   Inputs      Weights
56947   Threshold   0.33941973797033914
56948   Attrib pixel-0  -0.8193551262394482

```

```

56949  Attrib pixel-1      0.045424127216382004
56950  Attrib pixel-2      -0.04052987521715859
...
57202  Attrib pixel-254    -0.043901142797743
57203  Attrib pixel-255    -0.004568581028811788
57204  Class a_01
57205      Input
57206      Node 0
57207  Class a_02
57208      Input
57209      Node 1
57210  Class a_03
57211      Input
57212      Node 2
...
57438  Class a_105
57439      Input
57440      Node 78
57441  Class a_106
57442      Input
57443      Node 79
57444
57445
57446  Time taken to build model: 539.51 seconds
57447
57448  === Evaluation on test split ===
57449  === Summary ===
57450
57451  Correctly Classified Instances      43      53.0864 %
57452  Incorrectly Classified Instances    38      46.9136 %
57453  Kappa statistic                     0.5227
57454  Mean absolute error                 0.0139
57455  Root mean squared error             0.0907
57456  Relative absolute error             56.141 %
57457  Root relative squared error        81.5375 %
57458  Total Number of Instances          81
57459
57460  === Detailed Accuracy By Class ===
57461
57462  TP Rate   FP Rate   Precision   Recall   F-Measure   ROC Area   Class
57463  1         0.025    0.333     1        0.5         1         a_01

```

57464	1	0	1	1	1	1	a_02							
57465	1	0	1	1	1	1	a_03							
57466	0.333	0	1	0.333	0.5	0.983	a_05							
...	...													
57541	0	0	0	0	0	?	a_105							
57542	1	0	1	1	1	1	a_106							
57544														
57545	=== Confusion Matrix ===													
57546														
57547	a	b	c	d	e	f	g	h	i	j	...	ca	cb	<-- classified as
57548	10	0	0	0	0	0	0	0	0	0	...	00		a = a_01
57549	02	0	0	0	0	0	0	0	0	0	...	00		b = a_02
57550	00	2	0	0	0	0	0	0	0	0	...	00		c = a_03
57551	20	0	1	0	0	0	0	0	0	0	...	00		d = a_05
...	...													
57626	00	0	0	0	0	0	0	0	0	0	...	00		ca = a_105
57627	00	0	0	0	0	0	0	0	0	0	...	01		cb = a_106

Fonte: (o autor)

APÊNDICE C: Descrição Detalhada das Saídas Weka para os dados dos Histogramas Horizontais – Base 02

1 J48

A saída do Weka para o algoritmo J48 consiste em um cabeçalho com os dados do algoritmo e da base utilizada, na impressão da árvore gerada, em um sumário com os dados obtidos, um detalhamento de cada uma das classes e uma matriz de confusão, como pode ser visto nos trechos de código abaixo.

Saída J48 – Cabeçalho

1	=== Run information ===
2	
3	Scheme:weka.classifiers.trees.J48 -C 0.25 -M 2
4	Relation: base2hor
5	Instances: 239
6	Attributes: 257
7	[list of attributes omitted]
8	Test mode: split 66.0% train, remainder test

Fonte: (o autor)

As linhas 1 a 8 correspondem a um pequeno cabeçalho do método. Nele contém o caminho percorrido no Weka até o método escolhido (linha 3), o nome da relação (linha 4), a quantidade de instâncias e de atributos (linhas 5 e 6), e o modo como foi realizado o teste (linha 8), onde 2/3 da base foram utilizados para treino (66%) e o restante para testes. Na linha onde é descrito o método escolhido (linha 3), percebe-se também a utilização de 2 parâmetros, são eles o parâmetro *C* (confidence), que corresponde ao fator de confiança inicial para a poda e por default o Weka utiliza o percentual de 25% (0.25), e o parâmetro *M*, que corresponde ao número mínimo de instâncias por folha e por default o Weka define esse número como 2.

Saída J48 – Árvore de Decisão

10	=== Classifier model (full training set) ===
11	
12	J48 pruned tree
13	-----
14	
15	pixel-0 <= 191
16	pixel-0 <= 138
17	pixel-0 <= 111
18	pixel-54 <= 1
19	pixel-0 <= 90: a_06 (4.0)
20	pixel-0 > 90: a_01 (5.0)
21	pixel-54 > 1: a_78 (4.0)
...	...
159	pixel-54 > 0
160	pixel-188 <= 0: a_27 (3.0)
161	pixel-188 > 0: a_54 (2.0/1.0)
162	pixel-107 > 1: a_43 (4.0/1.0)
163	
164	Number of Leaves : 75
165	
166	Size of the tree : 149
167	
168	
169	Time taken to build model: 0.31 seconds

Fonte: (o autor)

As linhas 12 a 166 correspondem a parte da árvore de decisão gerada pelo método, levando-se em consideração os 256 atributos e as 80 possíveis classificações. Os números entre parênteses indicam a quantidade de instâncias classificadas correta e incorretamente. Na última linha da árvore, por exemplo, para a imagem de nome a_43 foram classificadas quatro instâncias corretamente e uma instância incorretamente. As linhas 164 e 166 indicam o número de níveis e o tamanho da árvore, respectivamente.

Saída J48 – Sumário

171	=== Evaluation on test split ===		
172	=== Summary ===		
173			
174	Correctly Classified Instances	33	40.7407 %
175	Incorrectly Classified Instances	48	59.2593 %
176	Kappa statistic	0.3955	
177	Mean absolute error	0.015	
178	Root mean squared error	0.1041	
179	Relative absolute error	60.6039 %	
180	Root relative squared error	93.5727 %	
181	Total Number of Instances	81	

Fonte: (o autor)

As linhas 172 a 181 correspondem a um sumário com os resultados obtidos. Sendo o mais importante deles a porcentagem de instâncias classificadas correta e incorretamente (linhas 174 e 175, respectivamente).

Saída J48 – Descrição

183	=== Detailed Accuracy By Class ===							
184								
185	TP Rate	FP Rate	Precision	Recall	F-Measure	ROC Area	Class	
186	1	0	1	1	1	1	a_01	
187	1	0.025	0.5	1	0.667	0.987	a_02	
188	1	0	1	1	1	1	a_03	
189	0.333	0.026	0.333	0.333	0.333	0.656	a_05	
...	...							
264	0	0	0	0	0	?	a_105	
265	0	0	0	0	0	0.994	a_106	

Fonte: (o autor)

As linhas 183 a 265 correspondem a uma descrição detalhada de cada classe, através da análise de precisão. Sendo o fator de precisão o mais relevante. Para a classe a_02, por exemplo, o índice de precisão foi de 50%, enquanto que para a classe a_05 o índice de precisão foi de 33,3%.

Saída J48 – Matriz de Confusão

268	=== Confusion Matrix ===											
269												
270	a	b	c	d	e	f	g	h	i	...	ca	cb<-- classified as
271	1	0	0	0	0	0	0	0	0	0	...	0 0 a = a_01
272	0	2	0	0	0	0	0	0	0	0	...	0 0 b = a_02
273	0	0	2	0	0	0	0	0	0	0	...	0 0 c = a_03
274	0	0	1	0	0	0	0	0	0	...	00	d = a_05
...	...											
349	0	00	0	0	0	0	0	0	0	...	00	ca = a_105
350	00	0	0	0	0	0	0	0	0	...	00	cb = a_106

Fonte: (o autor)

Por fim, as linhas 268 a 350 correspondem a matriz de confusão, que é simplesmente uma matriz quadrada que indica as classificações corretas e erradas de cada instância, onde a diagonal da matriz corresponde às classificações corretas. Para a classe a_01, por exemplo, o número de classificações corretas foi igual a uma, já para a classe a_02, esse número foi igual a dois.

2NaiveBayes

A saída do Weka para o algoritmo NaiveBayes consiste em um cabeçalho com os dados do algoritmo e da base utilizada, em um sumário com os dados obtidos, um detalhamento de cada uma das classes e uma matriz de confusão, como pode ser visto nos trechos de código abaixo.

Saída NaiveBayes – Cabeçalho

1	=== Run information ===
2	
3	Scheme:weka.classifiers.bayes.NaiveBayes
4	Relation: base2hor
5	Instances: 239
6	Attributes: 257
7	[list of attributes omitted]
8	Test mode:split 66.0% train, remainder test

Fonte: (o autor)

As linhas 1 a 8 correspondem a um pequeno cabeçalho do método. Nele contém o caminho percorrido no Weka até o método escolhido (linha 3), o nome da relação (linha 4), a quantidade de instâncias e de atributos (linhas 5 e 6), e o modo como foi realizado o teste (linha 8), onde 2/3 da base foram utilizados para treino (66%) e o restante para testes.

Saída NaiveBayes – Informações Específicas do Classificador

```

10  === Classifier model (full training set) ===
11
12  Naive Bayes Classifier
13
14          Class
15  Attribute  a_01    a_02    a_03    a_05    ...    a_105    a_106
16              (0.02)  (0.02)  (0.02)  (0.02)  ...    (0.01)  (0.01)
17  =====
18  pixel-0
19  mean      99.8629  122.4   124.3429 121.2343 ...    279.7714 227.3143
20  std. dev.  6.2171   0.3238  0.3238   5.44    ...    0.3238  0.3238
21  weight sum  5         5         5         ...    2         2
22  precision  1.9429   1.9429  1.9429   1.9429  ...    1.9429  1.9429
23
24  pixel-1
25  mean      0         0         0         0         ...    0         0
26  std. dev.  0.0017   0.0017  0.0017   0.0017  ...    0.0017  0.0017
27  weight sum  5         5         5         5         ...    2         2
28  precision  0.01     0.01     0.01     0.01     ...    0.01     0.01
29
30  pixel-2
31  mean      0         0         0         0         ...    0         0
32  std. dev.  0.0017   0.0017  0.0017   0.0017  ...    0.0017  0.0017
33  weight sum  5         5         5         5         ...    2         2
34  precision  0.01     0.01     0.01     0.01     ...    0.01     0.01
...
1542 pixel-254
1543 mean      0         0         0         ...    0         0
1544 std. dev.  0.0017   0.0017  0.0017   ...    0.0017  0.0017
1545 weight sum  5         5         5         ...    2         2
1546 precision  0.01     0.01     0.01     0.01     ...    0.01     0.01
1547
1548 pixel-255
1549 mean      0         0         0         0         ...    0         0
1550 std. dev.  0.0017   0.0017  0.0017   0.0017  ...    0.0017  0.0017
1551 weight sum  5         5         5         5         ...    2         2
1552 precision  0.01     0.01     0.01     0.01     ...    0.01     0.01
1553
1554
1555
1556 Time taken to build model: 0.06 seconds

```

Fonte: (o autor)

As linhas 10 a 1556 contêm algumas informações específicas de cada classe, ou seja, cada instância. Dentre elas podemos destacar a soma dos pesos (*weight sum*) que corresponde ao peso total dos exemplos utilizados para estimar os parâmetros da distribuição das normas; e a precisão (*prediction*) que é o mínimo desvio padrão permitido para o atributo em questão. A precisão é obtida através de uma heurística implementada no algoritmo que calcula a média entre os valores adjacentes do atributo.

Saída NaiveBayes – Sumário

1558	=== Evaluation on test split ===		
1559			
1560	=== Summary ===		
1561	Correctly Classified Instances	39	48.1481 %
1562	Incorrectly Classified Instances	42	51.8519 %
1563	Kappa statistic	0.4708	
1564	Mean absolute error	0.0128	
1565	Root mean squared error	0.1036	
1566	Relative absolute error	52.0554 %	
1567	Root relative squared error	93.1665 %	
1568	Total Number of Instances	81	

Fonte: (o autor)

As linhas 1560 a 1568 correspondem a um sumário com os resultados obtidos. Sendo o mais importante deles a porcentagem de instâncias classificadas correta e incorretamente (linhas 1561 e 1562, respectivamente).

Saída NaiveBayes – Descrição

1570	=== Detailed Accuracy By Class ===							
1571								
1572	TP Rate	FP Rate	Precision	Recall	F-Measure	ROC Area	Class	
1573	1	0.025	0.333	1	0.5	1	a_01	
1574	1	0	1	1	1	1	a_02	
1575	1	0	1	1	1	1	a_03	
1576	0.333	0	1	0.333	0.5	0.94	a_05	
...	...							
1651	0	0	0	0	0	?	a_105	
1652	1	0	1	1	1	1	a_106	

Fonte: (o autor)

As linhas 1570 a 1652 correspondem a uma descrição detalhada de cada classe, através da análise de precisão. Sendo o fator de precisão o mais relevante. Para a classe a_01, por exemplo, o índice de precisão foi de 33,3%.

Saída NaiveBayes – Matriz de Confusão

1655	=== Confusion Matrix ===												
1656													
1657	a	b	c	d	e	f	g	h	i	...	ca	cb	<-- classified as
1658	1	0	0	0	0	0	0	0	0	...	0	0	a = a_01
1659	0	2	0	0	0	0	0	0	0	...	0	0	b = a_02
1660	0	0	2	0	0	0	0	0	0	...	0	0	c = a_03
1661	20	0	1	0	0	0	0	0	0	...	00	0	d = a_05
...	...												
1736	4	00	0	0	0	0	0	0	0	...	00	0	ca = a_105
1737	0	0	0	0	0	0	0	0	0	...	0	1	cb = a_106

Fonte: (o autor)

Por fim, as linhas 1655 a 1737 correspondem a matriz de confusão, que é simplesmente uma matriz quadrada que indica as classificações corretas e erradas de cada instância, onde a diagonal da matriz corresponde às classificações corretas. Para a classe a_01, por exemplo, o número de classificações corretas foi igual a uma, já para a classe a_02, esse número foi igual a dois.

3 MultiLayerPerceptron (MLP)

Como descrito no item 3.4.3, as redes MultiLayer Perceptron (MLP) são redes de muitas camadas. A saída do Weka para tal consiste em um cabeçalho com os dados do algoritmo e da base utilizada, na impressão da rede neural, em um sumário com os dados obtidos, um detalhamento de cada uma das classes e uma matriz de confusão, como pode ser visto nos códigos 17 a 21 abaixo.

Saída MLP – Cabeçalho

1	=== Run information ===
2	
3	Scheme:weka.classifiers.functions.MultilayerPerceptron -L 0.3 -M 0.2 - N 500 -V 0 -S 0 -E 20 -H a
4	Relation: base2hor
5	Instances: 239
6	Attributes: 257
7	[list of attributes omitted]
8	Test mode:split 66.0% train, remainder test

Fonte: (o autor)

As linhas 1 a 8 correspondem a um pequeno cabeçalho do método. Nele contém o caminho percorrido no Weka até o método escolhido (linha 3), o nome da relação (linha 4), a quantidade de instâncias e de atributos (linhas 5 e 6), e o modo como foi realizado o teste (linha 8), onde 2/3 da base foram utilizados para treino (66%) e o restante para testes.

Saída MLP – Rede Neural

10	=== Classifier model (full training set) ===	
11		
12	Sigmoid Node 0	
13	Inputs	Weights
14	Threshold	-0.5909650217242758
15	Node 80	-0.826749664281111
16	Node 81	-0.23739546682785256
...	...	
182	Node 247	-1.141665925516809
...	...	
13521	Sigmoid Node 79	
13522	Inputs	Weights
13523	Threshold	-0.0602299962224372
13524	Node 80	-0.6406525151691054
13525	Node 81	-0.24489328000594557
...	...	
13691	Node 247	-0.5276770038216345
13692	Sigmoid Node 80	
13693	Inputs	Weights
13694	Threshold	-0.007461703162840005
13695	Attrib pixel-0	0.8717836843019202
13696	Attrib pixel-1	0.03316112828854176
13697	Attrib pixel-2	-0.02884390897573923
...	...	
13949	Attrib pixel-254	0.005417494352333574
13950	Attrib pixel-255	-0.0496083955834057
...	...	
56945	Sigmoid Node 247	
56946	Inputs	Weights
56947	Threshold	0.33941973797033914
56948	Attrib pixel-0	-0.8193551262394482
56949	Attrib pixel-1	0.045424127216382004
56950	Attrib pixel-2	-0.04052987521715859
...	...	
57202	Attrib pixel-254	-0.043901142797743
57203	Attrib pixel-255	-0.004568581028811788
57204	Class a_01	
57205	Input	
57206	Node 0	

57207	Class a_02
57208	Input
57209	Node 1
57210	Class a_03
57211	Input
57212	Node 2
...	...
57438	Class a_105
57439	Input
57440	Node 78
57441	Class a_106
57442	Input
57443	Node 79
57444	
57445	
57446	Time taken to build model: 539.51 seconds

Fonte: (o autor)

As linhas 10 a 57446 correspondem a própria rede neural formada. Os Sigmoides Node correspondem aos nós utilizados no backpropagation, juntamente com os dados associados a eles. Esses dados são os pesos de interconexão. Nas linhas 12 a 13691 são declarados 80 nós, ou 80 unidades, que correspondem às 80 instâncias da base. Cada um desses nós, por sua vez, possuem suas unidades ocultas, declarados nas linhas 13692 a 57203. Essas unidades possuem os pesos correspondentes aos 256 atributos da classe. Para definir o número de nós da camada oculta, o Weka, por default, utiliza uma heurística que corresponde a dividir o número de atributos somado ao número de classes por dois.

Saída MLP – Sumário

57448	=== Evaluation on test split ===		
57449	=== Summary ===		
57450			
57451	Correctly Classified Instances	43	53.0864 %
57452	Incorrectly Classified Instances	38	46.9136 %
57453	Kappa statistic	0.5227	
57454	Mean absolute error	0.0139	
57455	Root mean squared error	0.0907	
57456	Relative absolute error	56.141 %	
57457	Root relative squared error	81.5375 %	
57458	Total Number of Instances	81	

Fonte: (o autor)

As linhas 57449 a 57458 correspondem a um sumário com os resultados obtidos. Sendo o mais importante deles a porcentagem de instâncias classificadas correta e incorretamente (linhas 57451 e 57452, respectivamente).

Saída MLP – Descrição

57460	=== Detailed Accuracy By Class ===						
57461							
57462	TP Rate	FP Rate	Precision	Recall	F-Measure	ROC Area	Class
57463	1	0.025	0.333	1	0.5	1	a_01
57464	1	0	1	1	1	1	a_02
57465	1	0	1	1	1	1	a_03
57466	0.333	0	1	0.333	0.5	0.983	a_05
...	...						
57541	0	0	0	0	0	?	a_105
57542	1	0	1	1	1	1	a_106

Fonte: (o autor)

As linhas 57460 a 57542 correspondem a uma descrição detalhada de cada classe, através da análise de precisão. Sendo o fator de precisão o mais relevante. Para a classe a_01, por exemplo, o índice de precisão foi de 33,3%.

Saída MLP – Matriz de Confusão

57545	=== Confusion Matrix ===											
57546												
57547	a	b	c	d	e	f	g	h	i	j	...	cacb<-- classified as
57548	10	0	0	0	0	0	0	0	0	0	...	00 a = a_01
57549	02	0	0	0	0	0	0	0	0	0	...	00 b = a_02
57550	00	2	0	0	0	0	0	0	0	0	...	00 c = a_03
57551	20	0	1	0	0	0	0	0	0	0	...	00 d = a_05
...	...											
57626	00	0	0	0	0	0	0	0	0	0	...	00 ca = a_105
57627	00	0	0	0	0	0	0	0	0	0	...	01 cb = a_106

Fonte: (o autor)

Por fim, as linhas 57545 a 57627 correspondem a matriz de confusão, que é simplesmente uma matriz quadrada que indica as classificações corretas e erradas de cada instância, onde a diagonal da matriz corresponde às classificações corretas. Para a classe a_01, por exemplo, o número de classificações corretas foi igual a uma, já para a classe a_02, esse número foi igual a dois.